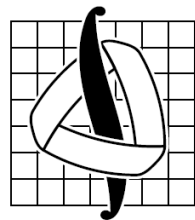


МОСКОВСКИЙ ГОСУДАРСТВЕННЫЙ УНИВЕРСИТЕТ

им. М. В. Ломоносова

Механико-математический факультет



Дипломная Работа

Интегрируемый случай
Ковалевской-Яхьи.

студента 5 курса К.Е.Душина

Научный руководитель: академик РАН А.Т.Фоменко

Москва 2009

Содержание

1 Введение	2
2 Постановка задачи Ковалевской-Яхьи	3
3 Вычисление бифуркационных диаграмм	7
4 Лиувиллева классификация известных случаев	8
5 Продолжение грубой Лиувиллевой классификации с осей на всю плоскость	20

1 Введение

Мы будем рассматривать задачу о движении тяжёлого гиростата с постоянным гиростатическим моментом, в постановке которой важные результаты принадлежат Н.Е.Жуковскому, П.В.Харламову и другим классикам отечественной и мировой механики. В настоящее время по-прежнему не ослабевает интерес к этой проблеме. Прежде всего это связано с современными методами явного интегрирования уравнений, с качественными исследованиями динамических систем, с интегрируемостью по Лиувиллю.

Гиростату С.В.Ковалевской посвящено не так много работ. П.В.Харламов предложил рассмотреть гиростат, распределение масс которого подчинено условиям С.В.Ковалевской, а гиростатический момент направлен по оси динамической симметрии. Им указано инвариантное соотношение, позволяющее в эллиптических функциях проинтегрировать этот частный случай. Как показал Х.М.Яхья, интеграл С.В.Ковалевской может быть обобщён на гиростат при условиях, указанных П.В.Харламовым. П.Е.Рябовым были вычислены бифуркационные множества интегралов энергии и площадей, и дана их классификация. Также им были построены диаграммы случая Яхьи (нулевая постоянная площадей) с помощью методов компьютерного моделирования. П.В.Морозов в своей работе исследовал глобальные топологические инварианты слоений Лиувилля (инварианты Фоменко-Цишанга) интегрируемого случая Ковалевской-Яхьи (для случая нулевой постоянной площадей).

В настоящей работе сделано почти полное продолжение грубой Лиувиллевой классификации для любых значений параметров (постоянная площадей и гиростатический момент). А именно, продолжены все семейства торов и все, кроме четырех, типы их перестроек.

Автор выражает глубокую благодарность своим научным руководителям - академику А.Т.Фоменко, доценту А.А.Ошемкову, кандидату ф/м наук П.Е.Рябову, кандидату ф/м наук П.В.Морозову за постоянное внимание к работе, множество ценных замечаний и консультаций.

Работа была проведена совместно с П.П.Андреяновым и Н.С.Логачёвой.

2 Постановка задачи Ковалевской-Яхьи

Случай интегрируемости Ковалевской-Яхьи является обобщением классического волчка Ковалевской на случай задачи о движении тяжелого гиростата. Приведем конкретный вид уравнений и первых интегралов этой системы.

Рассмотрим алгебру Ли $e(3)$ группы Ли $E(3)$ движений трехмерного евклидова пространства. На линейном пространстве $e(3)^*$ определена скобка Ли-Пуассона двух произвольных гладких функций f и g :

$$\{f, g\}(x) = x([d_x f, d_x g]),$$

где $x \in e(3)^*$, а $[,]$ - коммутатор в алгебре Ли $e(3)$.

В канонических координатах $(s_1, s_2, s_3, r_1, r_2, r_3)$ на линейном пространстве $e(3)^*$ эта скобка записывается следующим образом:

$$\{s_i, s_j\} = \varepsilon_{ijk} s_k, \quad \{r_i, s_j\} = \varepsilon_{ijk} r_k, \quad \{r_i, r_j\} = 0, \quad (1)$$

где

$$1 \leq i, j, k \leq 3, \quad \varepsilon_{ijk} = \frac{1}{1}(i-j)(j-k)(k-i).$$

А матрица $\Omega_{(s,r)}$ скобки Ли-Пуассона выглядит так:

$$\Omega_{(s,r)} = \begin{pmatrix} 0 & s_3 & -s_2 & 0 & r_3 & -r_2 \\ -s_3 & 0 & s_1 & -r_3 & 0 & r_1 \\ s_2 & -s_1 & 0 & r_2 & -r_1 & 0 \\ 0 & r_3 & -r_2 & 0 & 0 & 0 \\ -r_3 & 0 & r_1 & 0 & 0 & 0 \\ r_2 & -r_1 & 0 & 0 & 0 & 0 \end{pmatrix}$$

Пусть на $e(3)^*$ задана некоторая функция Гамильтона $H(s, r)$. Рассмотрим систему уравнений:

$$\dot{s}_i = \{s_i, H\}, \quad \dot{r}_i = \{r_i, H\} \quad (2)$$

Функции $f_1 = r_1^2 + r_2^2 + r_3^2$ и $f_2 = s_1 r_1 + s_2 r_2 + s_3 r_3$ лежат в ядре скобки Ли-Пуассона и поэтому являются первыми интегралами уравнений (2). На совместных четырехмерных поверхностях уровня функций f_1 и f_2 :

$$M_g^4 = \{f_1 = r_1^2 + r_2^2 + r_3^2 = 1, f_2 = s_1 r_1 + s_2 r_2 + s_3 r_3 = g\},$$

ограничение системы (2) представляет собой гамильтонову систему с двумя степенями свободы. Поверхности M_g^4 являются неособыми гладкими симплектическими подмногообразиями в $e(3)^*$, диффеоморфными TS^2 . Симплектическая структура задается ограничением скобки Ли-Пуассона из объемлющего пространства $e(3)^*$. Система будет интегрируемой на поверхности M_g^4 , если на ней существует функционально независимая с H гладкая функция $K(s, r)$, такая что $\{H, K\} = 0$. Если такая функция существует глобально на всем $e(3)^*$, то на каждом M_g^4 возникает интегрируемая гамильтонова система с двумя степенями свободы. Параметр g имеет физический смысл постоянной площадей.

Рассмотрим следующее обобщение гамильтониана Ковалевской:

$$H = \frac{s_1^2}{A_1} + \frac{s_2^2}{A_2} + \frac{(s_3 + \lambda)^2}{A_3} + a_1 r_1 + a_2 r_2$$

Как впервые указал Х.М.Яхья [1, 2] для него существует дополнительный интеграл четвертой степени:

$$\begin{aligned} K = & (\frac{s_1^2 - s_2^2}{2A} + a_2 r_2 - a_1 r_1)^2 + (\frac{s_1 s_2}{A} - a_1 r_2 - a_2 r_1)^2 - \\ & \frac{2\lambda}{A^2} (s_3 + 2\lambda)(s_1^2 + s_2^2) - \frac{4\lambda r_3}{A} (a_1 s_1 + a_2 s_2) \end{aligned}$$

В нашем случае, гиростат подчинён следующим условиям: главные моменты инерции удовлетворяют соотношениям $A_1 = A_2 = 2A_3 := 2A$ (*), гиростатический момент постоянен и направлен по оси динамической симметрии волчка $\lambda_1 = \lambda_2 = 0, \lambda := \lambda_3 \neq 0$ (**), параметры a_1 и a_2 задают положение точки подвеса волчка в экваториальной плоскости эллипсоида инерции, центр масс находится также в этой плоскости. При $\lambda = 0$ получаем классический случай Ковалевской.

Линейной заменой координат на $e(3)^*$

$$\begin{cases} s_1 = \sqrt{\frac{A}{2\zeta}}(-a_1 \tilde{s}_1 + a_2 \tilde{s}_2), \\ s_2 = \sqrt{\frac{A}{2\zeta}}(-a_2 \tilde{s}_1 - a_1 \tilde{s}_2), \\ s_3 = \sqrt{\frac{A}{2}} \tilde{s}_3, \\ r_1 = -\frac{a_1}{\zeta} \tilde{r}_1 + \frac{a_2}{\zeta} \tilde{r}_2, \\ r_2 = -\frac{a_2}{\zeta} \tilde{r}_1 - \frac{a_1}{\zeta} \tilde{r}_2, \\ r_3 = \tilde{r}_3, \\ \lambda = \sqrt{\frac{A}{2}} \tilde{\lambda} \end{cases} \quad (3)$$

где $\zeta = a_1^2 + a_2^2$, добиваются исключения параметров A, a_1, a_2 . В новых переменных $(\tilde{s}_1, \tilde{s}_2, \tilde{s}_3, \tilde{r}_1, \tilde{r}_2, \tilde{r}_3)$, скобка Ли-Пуассона, будет пропорциональна исходной:

$$\Omega_{(\tilde{s}, \tilde{r})} = \sqrt{\frac{2}{A}} \Omega_{(s, r)}$$

Интегралы f_1, f_2 останутся точно такими же, а гамильтониан и дополнительный интеграл K примут упрощенный вид:

$$\begin{aligned} H &= \frac{s_1^2}{4} + \frac{s_2^2}{4} + \frac{(s_3 + \lambda)^2}{2} - r_1, \\ K &= (\frac{s_1^2 - s_2^2}{4} + r_1)^2 + (\frac{s_1 s_2}{2} + r_2)^2 - \frac{\lambda}{2} (s_3 + 2\lambda)(s_1^2 + s_2^2) - 2\lambda r_3 s_1. \end{aligned}$$

Здесь и далее мы для простоты используем старые обозначения для новых переменных.

Уравнения (2) в координатах записываются в виде:

$$\begin{aligned}\dot{s}_1 &= -\frac{s_2}{2}(s_3 + 2\lambda), & \dot{r}_1 &= \frac{s_2 r_3}{2} - r_2(s_3 + \lambda), \\ \dot{s}_2 &= -\frac{s_1}{2}(s_3 + 2\lambda) + r_3, & \dot{r}_2 &= -\frac{s_1 r_3}{2} + r_1(s_3 + \lambda), \\ \dot{s}_3 &= -r_2, & \dot{r}_3 &= \frac{s_1 r_2}{2} - \frac{s_2 r_1}{2}.\end{aligned}$$

Для дальнейших исследований нам будет также удобно пользоваться координатами (ω, ν) , в которых уравнения Эйлера-Пуассона (движения произвольного твердого тела с закрепленной точкой) имеют вид:

$$\left\{ \begin{array}{l} \frac{d\omega_1}{dt} + (A_3 - A_2)\omega_2\omega_3 + \omega_2\lambda_3 - \omega_3\lambda_2 = (e_2\nu_3 - e_3\nu_2)\gamma, \\ \frac{d\nu_1}{dt} = \omega_3\nu_2 - \omega_2\nu_3. \\ \frac{d\omega_3}{dt} + (A_2 - A_1)\omega_1\omega_2 + \omega_1\lambda_2 - \omega_2\lambda_1 = (e_1\nu_2 - e_2\nu_1)\gamma, \\ \frac{d\nu_3}{dt} = \omega_2\nu_1 - \omega_1\nu_2. \\ \frac{d\omega_2}{dt} + (A_1 - A_3)\omega_3\omega_1 + \omega_3\lambda_1 - \omega_1\lambda_3 = (e_3\nu_1 - e_1\nu_3)\gamma, \\ \frac{d\nu_2}{dt} = \omega_1\nu_3 - \omega_3\nu_1. \end{array} \right. \quad (4)$$

Здесь ω - вектор угловой скорости тела-носителя; e - единичный вектор, который направлен из неподвижной точки к центру масс; γ - параметр Пуанкаре, равный произведению веса гиростата на расстояние от его центра масс до неподвижной точки.

Связь между координатами (s, r) и (ω, ν) устанавливает следующая лемма:

Лемма. (A.O.Ошемков [3]) Отображение $\varphi : \mathbb{R}^6(s, r) \rightarrow \mathbb{R}^6(\omega, \nu)$ задаваемое формулами

$$\begin{cases} s_i = -(A_i\omega_i + \lambda_i), \\ r_i = \nu_i, \end{cases} \quad (5)$$

устанавливает изоморфизм системы (2) и системы (4).

При этом гамильтониан и функции f_1 и f_2 в координатах (ω, ν) с учетом соотношений (*), (***) примут вид:

$$H = A\omega_1^2 + A\omega_2^2 + \frac{A\omega_3^2}{2} + a_1\nu_1 + a_2\nu_2,$$

$$f_1 = \nu_1^2 + \nu_2^2 + \nu_3^2, \quad f_2 = 2A\omega_1\nu_1 + 2A\omega_2\nu_2 + (A\omega_3 + \lambda)\nu_3.$$

А матрица $\Omega_{(\omega, \nu)}$ скобки Ли-Пуассона будет выглядеть так:

$$\Omega_{(\omega, \nu)} = \frac{1}{A} \begin{pmatrix} 0 & \frac{-A\omega_3 - \lambda}{4A} & \omega_2 & 0 & -\frac{\nu_3}{2} & \frac{\nu_2}{2} \\ \frac{A\omega_3 + \lambda}{4A} & 0 & -\omega_1 & \frac{\nu_3}{2} & 0 & -\frac{\nu_1}{2} \\ -\omega_2 & \omega_1 & 0 & -\nu_2 & \nu_1 & 0 \\ 0 & -\frac{\nu_3}{2} & \nu_2 & 0 & 0 & 0 \\ \frac{\nu_3}{2} & 0 & -\nu_1 & 0 & 0 & 0 \\ -\frac{\nu_2}{2} & \frac{\nu_1}{2} & 0 & 0 & 0 & 0 \end{pmatrix}$$

Выберем подвижные оси так, чтобы центр масс находился на первой из них: $(e_1, e_2, e_3) := (1, 0, 0)$ и сделаем замену (он позволяет избавиться от параметров A, a_1, a_2):

$$\begin{cases} \omega_i = \sqrt{\frac{\gamma}{A}}(\tilde{\omega}_i), \\ \nu_i = \tilde{\nu}_i, \\ \lambda = \tilde{\lambda}\sqrt{\gamma A}, \\ \tau = t\sqrt{\frac{\gamma}{A}}, \end{cases} \quad (6)$$

здесь $\sqrt{\frac{\gamma}{A}}$ - единица измерения угловой скорости. Обратная величина $\sqrt{\frac{A}{\gamma}}$ - единица измерения времени.

Матрица формы $\Omega_{(\tilde{\omega}, \tilde{\nu})}$ имеет вид:

$$\Omega_{(\tilde{\omega}, \tilde{\nu})} = \frac{1}{\sqrt{\gamma A}} \begin{pmatrix} 0 & \frac{-\tilde{\omega}_3 - \tilde{\lambda}}{4} & \tilde{\omega}_2 & 0 & -\frac{\tilde{\nu}_3}{2} & \frac{\tilde{\nu}_2}{2} \\ \frac{\tilde{\omega}_3 + \tilde{\lambda}}{4} & 0 & -\tilde{\omega}_1 & \frac{\tilde{\nu}_3}{2} & 0 & -\frac{\tilde{\nu}_1}{2} \\ -\tilde{\omega}_2 & \tilde{\omega}_1 & 0 & -\tilde{\nu}_2 & \tilde{\nu}_1 & 0 \\ 0 & -\frac{\tilde{\nu}_3}{2} & \tilde{\nu}_2 & 0 & 0 & 0 \\ \frac{\tilde{\nu}_3}{2} & 0 & -\tilde{\nu}_1 & 0 & 0 & 0 \\ -\frac{\tilde{\nu}_2}{2} & \frac{\tilde{\nu}_1}{2} & 0 & 0 & 0 & 0 \end{pmatrix}$$

Запишем уравнения движения гиростата в безразмерных величинах $(\tilde{\omega}, \tilde{\nu})$, и вернем для новых переменных прежние обозначения (уберем тильдочки):

$$\begin{cases} 2\dot{\omega}_1 = (\omega_3 - \lambda)\omega_2, \\ 2\dot{\omega}_2 = -(\omega_3 - \lambda)\omega_1 - \nu_3, \\ \dot{\omega}_3 = \nu_2, \\ \dot{\nu}_1 = \nu_2\omega_3 - \nu_3\omega_2, \\ \dot{\nu}_2 = \nu_3\omega_1 - \nu_1\omega_3, \\ \dot{\nu}_3 = \nu_1\omega_2 - \nu_2\omega_1, \end{cases} \quad (7)$$

где точка - дифференцирование по безразмерному параметру $\tau = \sqrt{\frac{\gamma}{A}}t$.

Первые интегралы системы перейдут в следующие функции:

$$f_1 \equiv \nu_1^2 + \nu_2^2 + \nu_3^2 = 1.$$

$$f_2 \equiv \omega_1\nu_1 + \omega_2\nu_2 + \frac{(\omega_3 + \lambda)\nu_3}{2} = g,$$

$$H \equiv \omega_1^2 + \omega_2^2 + \frac{\omega_3^2}{2} - \nu_1 = h,$$

$$\begin{aligned} K \equiv & (\omega_1^2 - \omega_2^2 + \nu_1)^2 + (2\omega_1\omega_2 + \nu_2)^2 + \\ & + 2\lambda(\omega_3 - \lambda)(\omega_1^2 + \omega_2^2) + 4\lambda\omega_1\nu_3 = k, \end{aligned}$$

Таким образом у нас есть четыре системы координат, между которыми мы можем свободно перемещаться, пользуясь приведенными выше заменами:

$$\begin{array}{ccc} (s, r) & \xrightarrow{(5)} & (\omega, \nu) \\ \downarrow (3) & & \downarrow (6) \\ (\tilde{s}, \tilde{r}) & & (\tilde{\omega}, \tilde{\nu}) \end{array}$$

На всяком четырехмерном симплектическом многообразии M_g^4 для заданных значений λ, g мы получаем интегрируемую гамильтонову систему с двумя степенями свободы, задаваемую парой $(H_{g,\lambda}, K_{g,\lambda})$. По теореме Лиувилля, которая подробно обсуждается, например, в [4, т.1. 1.5], всякая неособая компактная совместная поверхность уровня интегралов является объединением некоторого числа двумерных торов.

Определение. Слоением Лиувилля, отвечающим интегрируемой системе, называется разбиение многообразия M_g^4 на связные компоненты совместных поверхностей уровня интегралов H, K .

3 Вычисление бифуркационных диаграмм

В этом пункте мы излагаем результаты М.П.Харламова и П.Е.Рябова, которые будут использованы нами в дальнейшем, а также вводим необходимые понятия и обозначения.

Введём отображение момента, которое определяется следующим образом:

$$H \times K : M_g^4 \rightarrow \mathbb{R}^2(h, k) \quad (8)$$

Определение. Образ критических точек при отображении момента называется бифуркационной диаграммой $\Sigma_{h,k}^{\lambda,g}$.

Заметим, что здесь параметры λ и g зафиксированы.

Бифуркационная диаграмма представляет собой набор гладких кривых, имеющих точки пересечения, касания и возврата.

В [5] указаны кривые на плоскости $\mathbb{R}^2(g, \lambda)$, разделяющие области с различными типами бифуркационных диаграмм. А также найден явный вид бифуркационных кривых на плоскости $\mathbb{R}^2(h, k)$.

Обозначим через $\Theta(g, \lambda)$ множество, которое состоит из тех значений $(g, \lambda) \in R^2(g, \lambda)$, при переходе через которые меняется вид сечения $\Sigma_{h,k}^{\lambda,g}$ плоскостью $\{g = \text{const}, \lambda = \text{const}\}$. Тогда это множество устроено следующим образом:

Теорема 1. (П.Е.Рябов) $\Theta(g, \lambda) = \bigcup_{i=1}^5 \Gamma_i$, где

$$\begin{aligned}\Gamma_1(g, \lambda) &= 1 - 4\lambda g = 0, \\ \Gamma_2(t) &= \left\{ -2t^3, \sqrt{-\frac{4t^4 - 1}{4t^2}} \right\}, t \in \left[-\frac{1}{\sqrt{2}}, 0 \right], \\ \Gamma_3(s) &= \left\{ \sqrt{\frac{s^2 - 1}{4s}}, \sqrt{-s^3} \right\}, s \in [-1, 0), , \\ \Gamma_4(t) &= \left\{ \sqrt{-\frac{(3t^2 - 1)^2}{4t^3}}, \sqrt{\frac{(t^2 - 1)^3}{t^3}} \right\}, \\ \Gamma_5(t) &= \left\{ \sqrt{\frac{(t^2 - 1)^3}{2t^3}}, \sqrt{-\frac{(3t^2 - 1)^2}{2t^3}} \right\}, t \in [-1, 0).\end{aligned}$$

Бифуркационное множество $\Sigma_{h,k}^{\lambda,g}$, согласно следующим утверждениям, выглядит так:

Теорема 2. (П.Е.Рябов) Все критические значения отображения момента (8) в задаче С.В.Ковалевской-Х.М.Яхни принадлежат $\chi_1 \cup \chi_2$, т.е.

$$\Sigma_{h,k}^{\lambda,g} \subset \chi_1 \cup \chi_2,$$

где

$$\begin{aligned}\chi_1 : \left\{ \begin{array}{l} k = 1, \\ h \geq -1, \end{array} \right. &\quad \left\{ \begin{array}{l} k = 1 + (h - \frac{\lambda^2}{2})^2, \\ h \geq \frac{\lambda^2}{2}, \end{array} \right. \quad g = 0; \quad \left\{ \begin{array}{l} h = \omega_1^2 + \frac{\lambda^2}{2} - \frac{g}{\omega_1}, \\ k = 1 + \omega_1^4 + 2g\omega_1, \end{array} \right. \quad g \neq 0, \\ \chi_2 : \left\{ \begin{array}{l} h \geq 0, \\ k = 0, \end{array} \right. &\quad \lambda = 0; \quad \left\{ \begin{array}{l} h = 2g^2 - \frac{\lambda^2}{2} - s + \frac{\lambda^2}{2s^2}, \\ k = -4\lambda^2 g^2 + (s + \lambda^2)^2 - \frac{\lambda^2(\lambda^2 + 2s^2)}{s^2}, \end{array} \right. \quad \lambda \neq 0.\end{aligned}$$

Теорема 3. (П.Е.Рябов) В случае $1 - 4\lambda g \geq 0$ для $s \in (-\infty, s_1)$ на кривой χ_2 отсутствуют критические движения. В случае $1 - 4\lambda g < 0$ для $s \in (-\infty, s_*)$ на кривой χ_2 отсутствуют критические движения. Через s_* обозначается одно из значений параметра на кривой χ_2 , для которого χ_i пересекаются, $s_1 = \frac{-1 - \sqrt{1 - 16\lambda^2 g^2}}{8g^2}$.

4 Лиувиллева классификация известных случаев

Выше у нас описано бифуркационное множество. Оно представляет собой 18 областей, в которых бифуркационные диаграммы гомеоморфны друг другу. Эти области назовем цифрами 1–9, и 1'–9'. Так же будем называть соответствующие им диаграммы. Диаграммы, соответствующие отрезкам осей в плоскости $\mathbb{R}_{g,\lambda}^2$, будем называть $1k, 2k, 6k, 7k$ для случая Ковалевской ($\lambda = 0$) и $1m, 2m, 6m, 7m$

для случая Морозова ($g = 0$). Диаграмму, соответствующую началу координат в $\mathbb{R}_{g,\lambda}^2$ назовем 0 (см. рис.1):

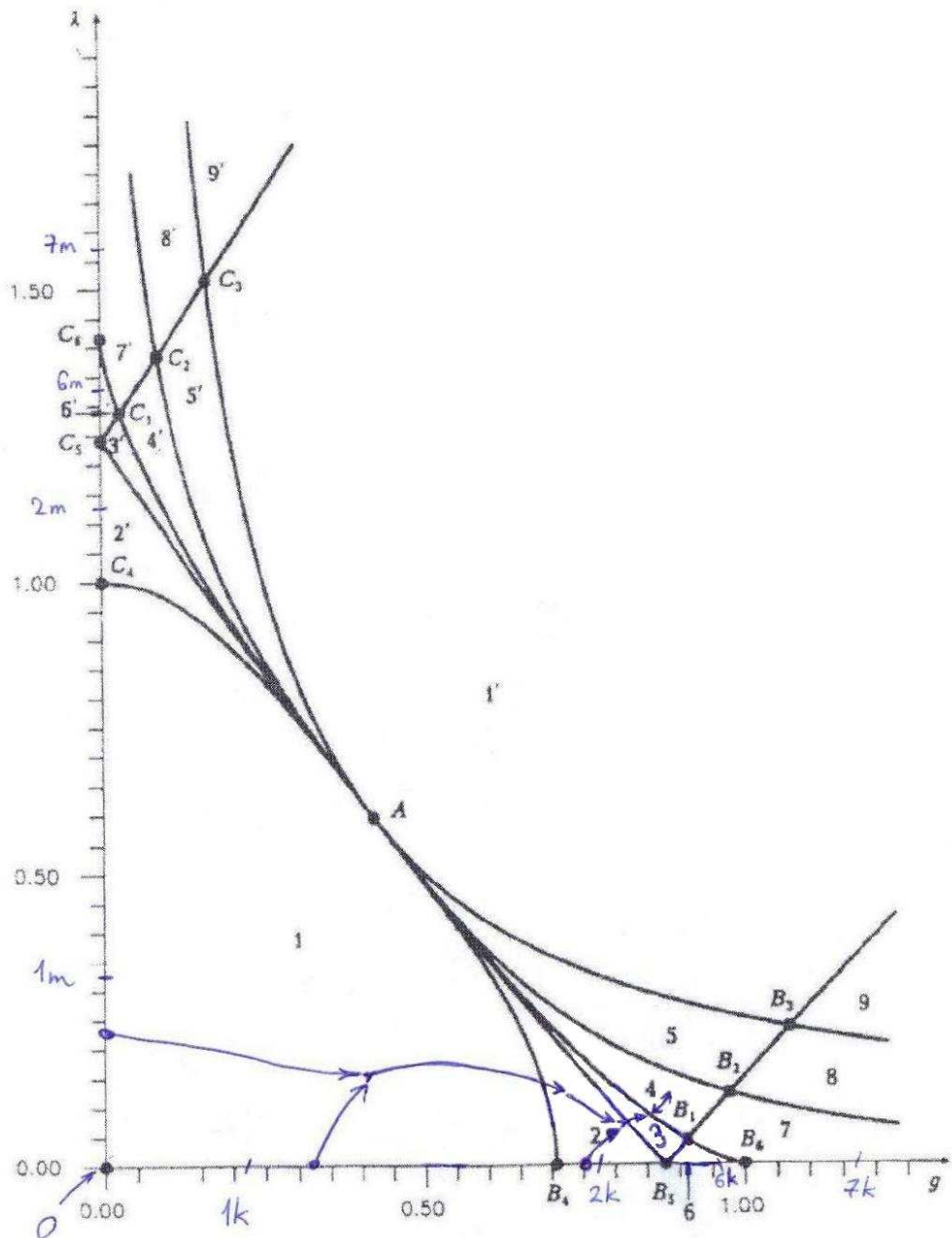


рис. 1

Сговоримся называть области, на которые делит плоскость $\mathbb{R}_{g,\lambda}^2$ множество $\Theta(g, \lambda)$ областями, а области, на которые делит плоскость $\mathbb{R}_{h,k}^2$ бифуркационная диаграмма - камерами. Гладкие куски дуг бифуркационных диаграмм (бифуркационные кривые делятся на такие куски точками касания, пересечения и возврата) будем иногда называть стенками.

Дальнейшее исследование бифуркационного множества подразумевает грубую

(а затем и тонкую) Лиувиллеву классификацию. Она уже была частично проведена. А именно на двух осях:

$\lambda = 0$ — случай Ковалевской (А.Т.Фоменко и А.В.Болсинов [4]) и
 $g = 0$ — (П.В.Морозов [9]).

Приведем ее здесь. Все куски гладких дуги бифуркационных диаграмм мы обозначим малыми греческими буквами с индексами. В их прообразах лежат боттовские перестройки торов Лиувилля, которые описываются 3-атомами. Их типы указаны ниже в табл.2. Регулярные точки отображения момента на $\mathbb{R}^2(h, k)$ являются образами некоторого количества несвязных торов Лиувилля. Эти торы естественным образом разбиваются на семейства. Мы обозначили их римскими цифрами $I - VIII$ (см табл.1).

семейство	число торов Лиувилля
I	1
II	2
III	1
IV	1
V	1
VI	1
VII	2
VIII	2

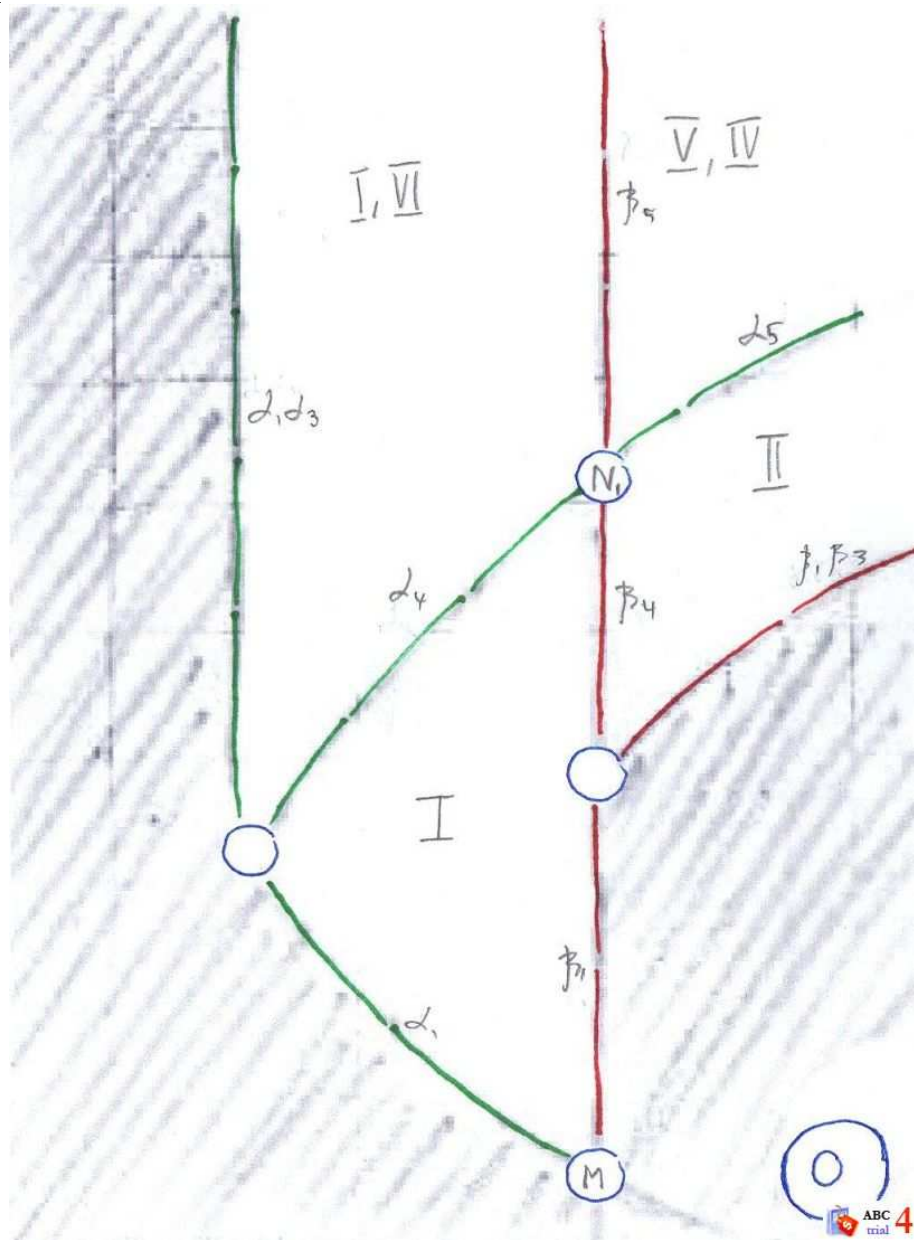
Таблица 1.

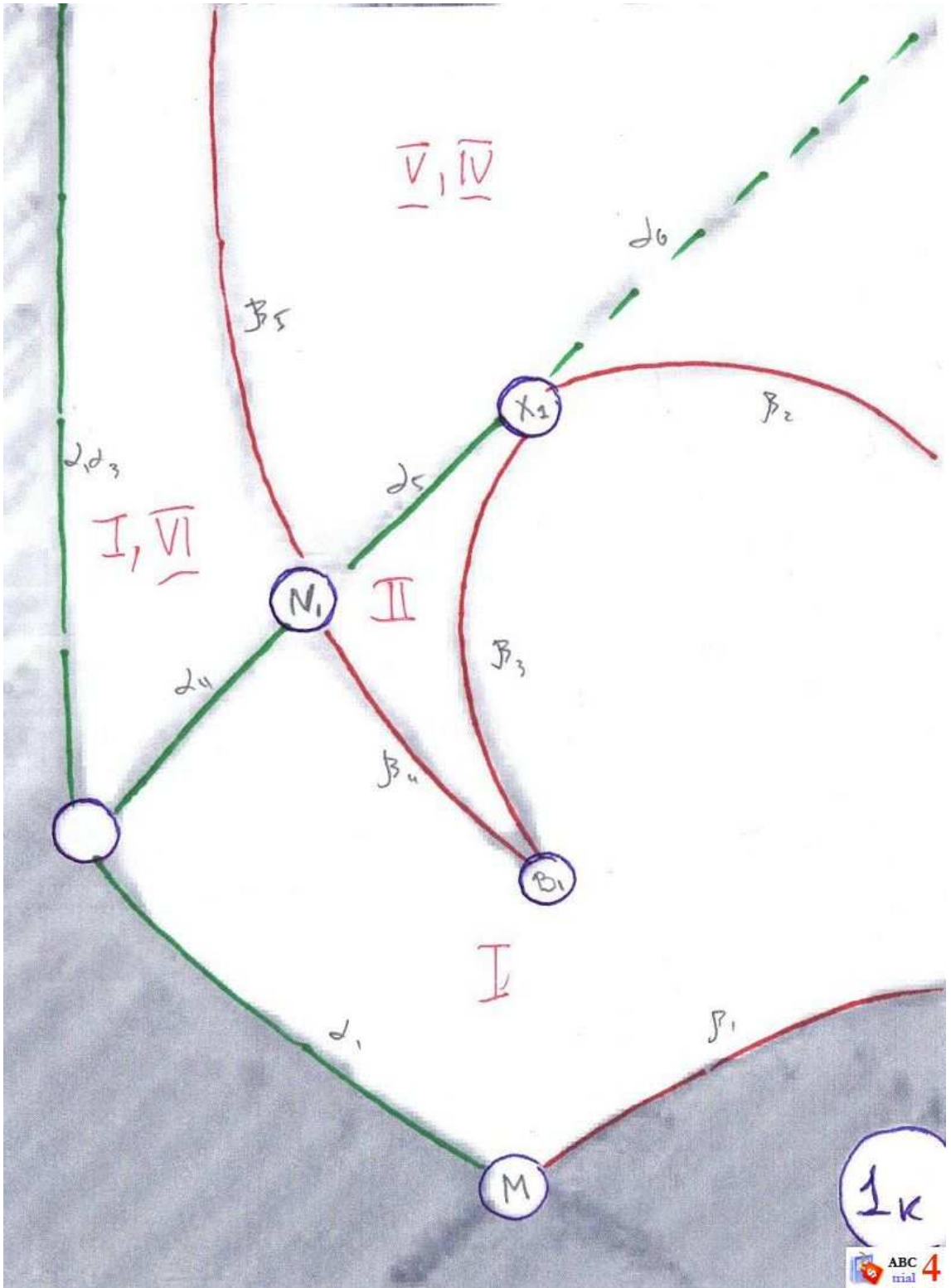
кривая χ_2	кривая χ_1
$\alpha_1 - A$	$\beta_1 - A$
$\alpha_2 - B$	$\beta_2 - B$
$\alpha_3 - A$	$\beta_3 - A$
$\alpha_4 - B$	$\beta_4 - B$
$\alpha_5 - C_2$	$\beta_5 - 2A^*$
α_6 - нет перестройки	$\beta_6 - 2A$
$\alpha_7 - 2A$	$\beta_7 - 2A$
$\delta_1 - 2A$	$\gamma_1 - 2A$
$\delta_2 - 2B$	$\gamma_2 - 2B$
$\delta_6 - 2B$	$\gamma_6 - 2B$
$\alpha_7\delta_5 - 4A$	$\beta_7\gamma_5 - 4A$
$\alpha_1\alpha_3 - 2A$	$\beta_1\gamma_3 - 2A$

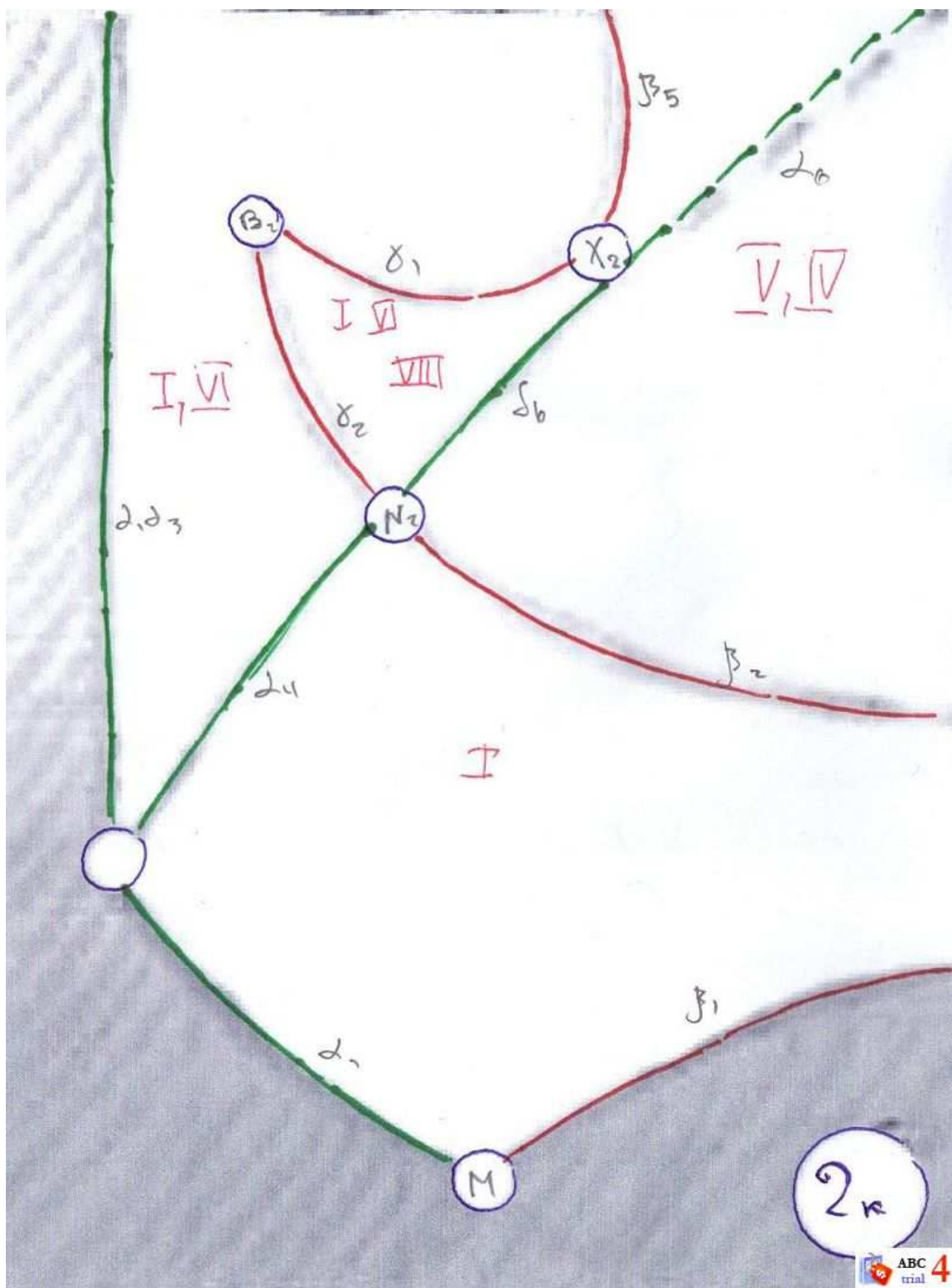
Таблица 2.

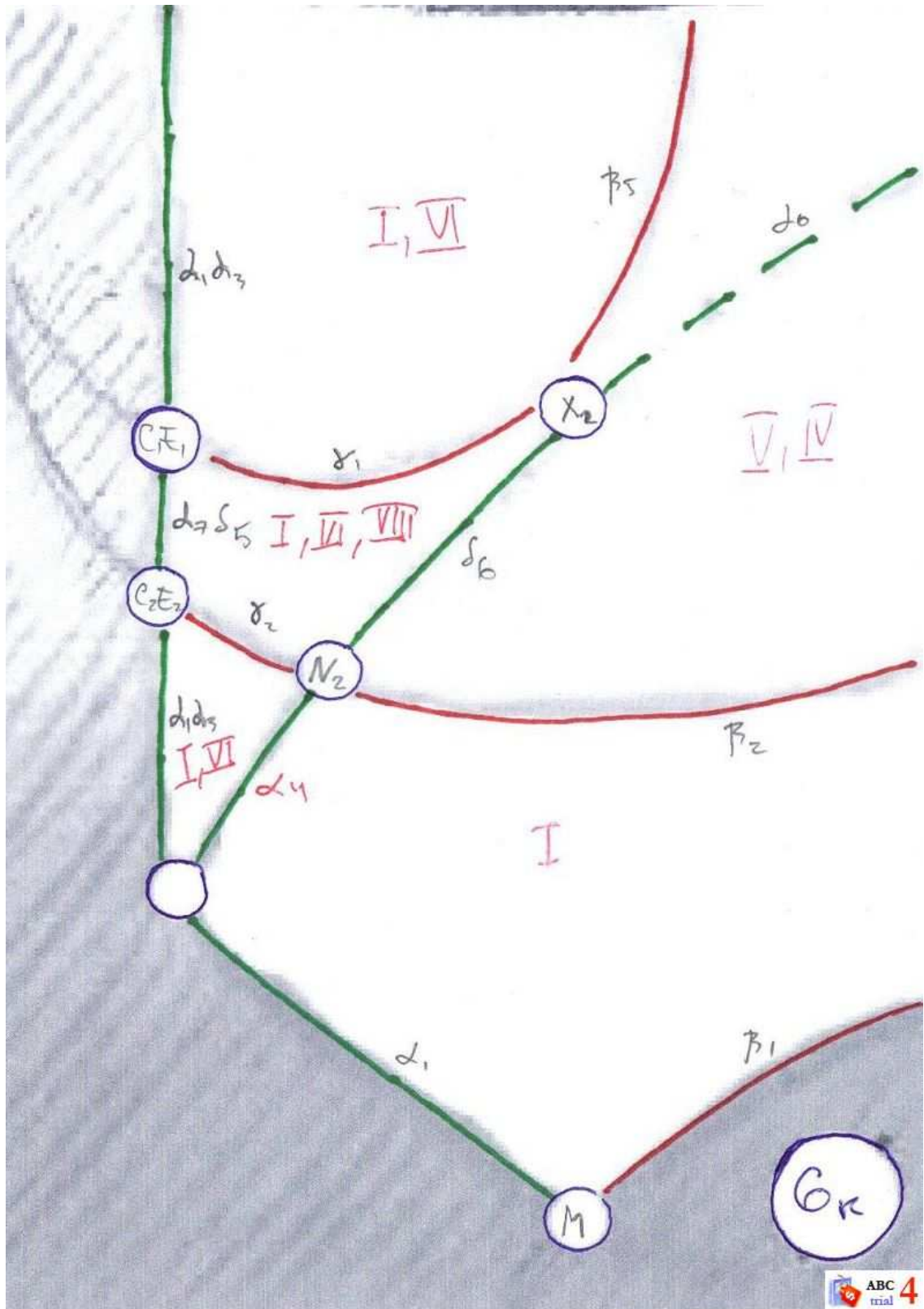
Замечание. Здесь встречаются атомы следующих типов: A , A^* , B , C_2 . В случаях, когда $g\lambda \neq 0$ не появится новых перестроек. Так же не появятся новые семейства торов.

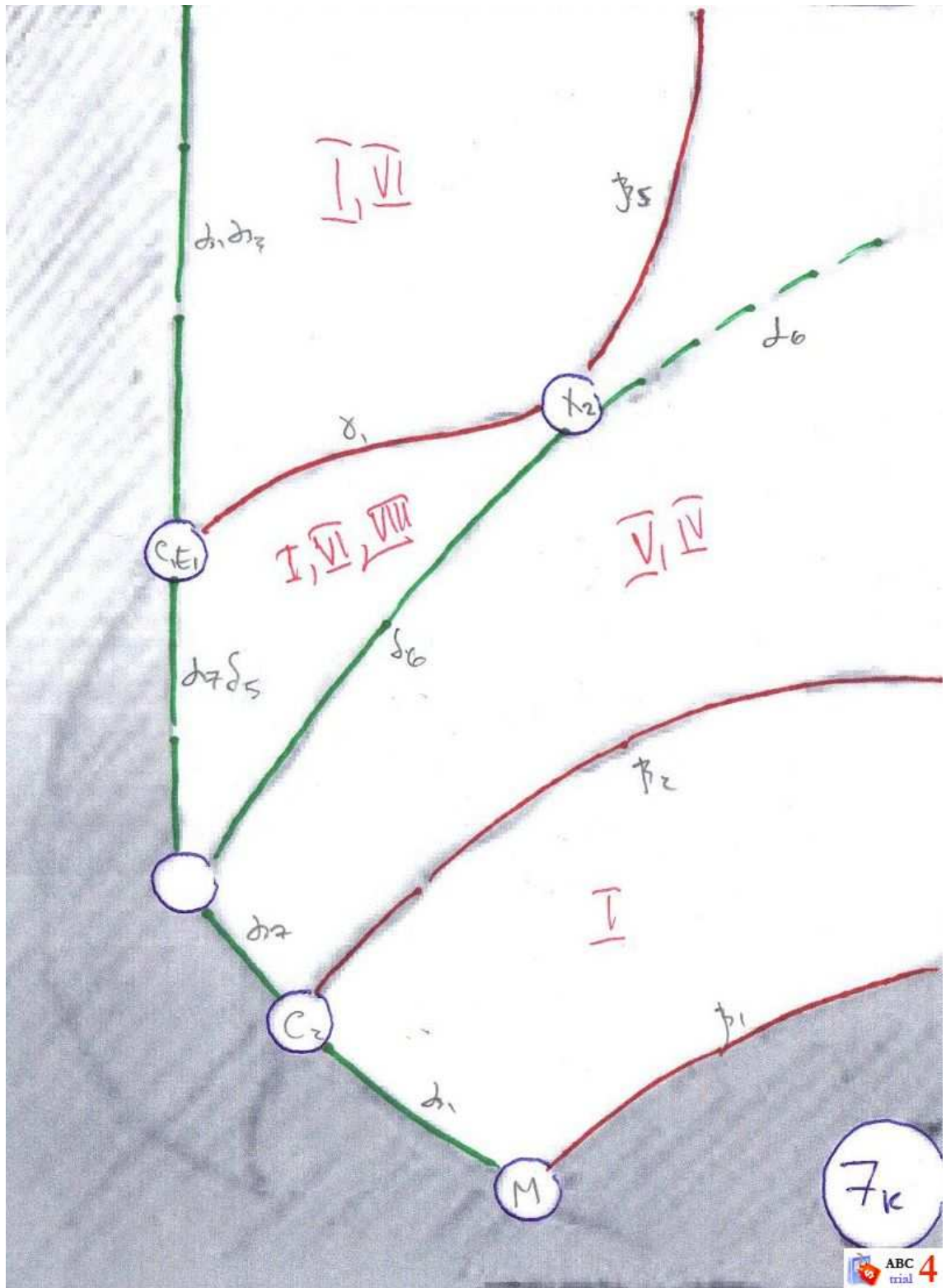
В случаях Ковалевской и Морозова следует различать по 4 бифуркационных диаграммы, также особым является случай $g = \lambda = 0$. Ниже приведены изображения этих девяти диаграмм с расставленными на них семействами и перестройками торов.

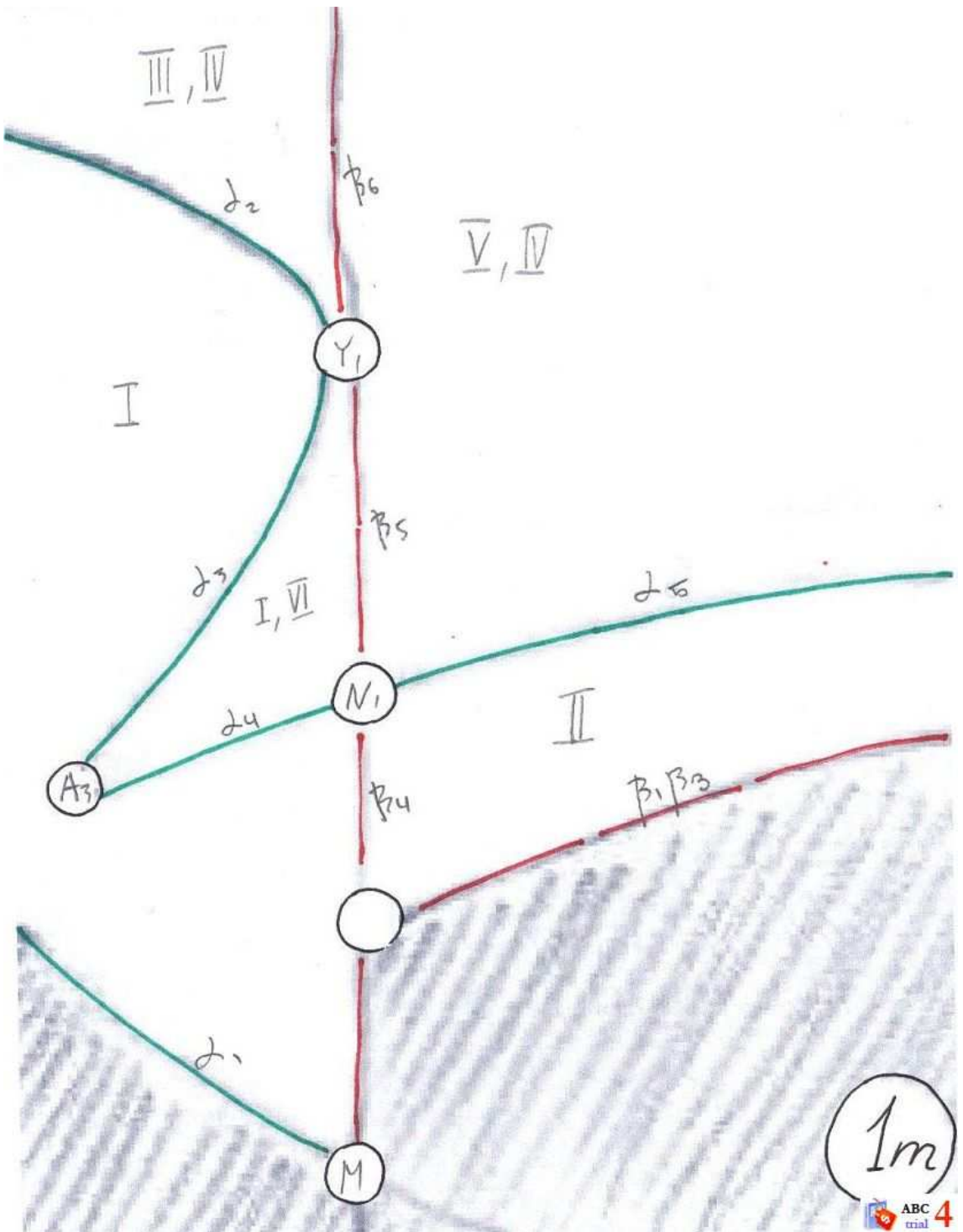


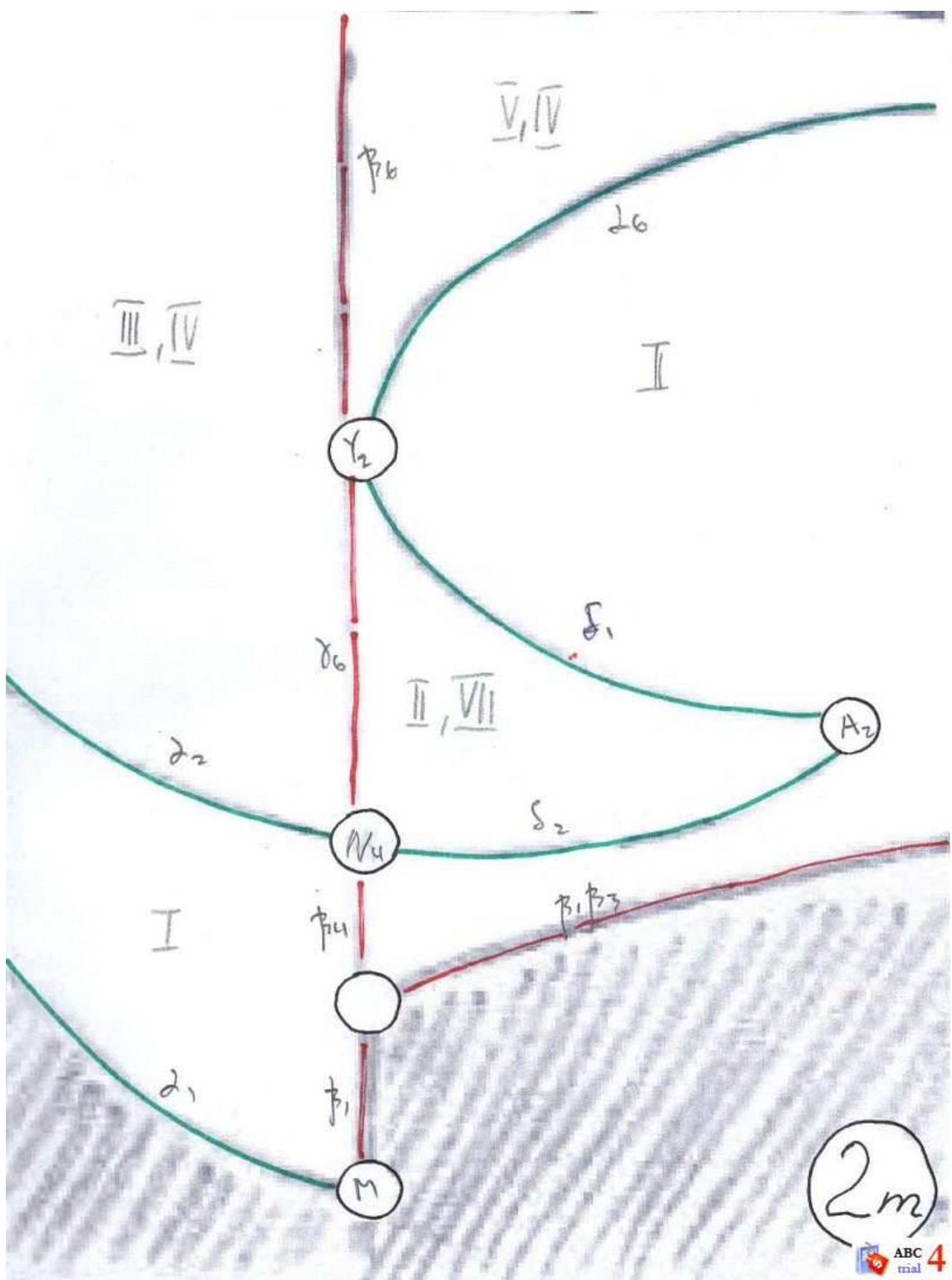


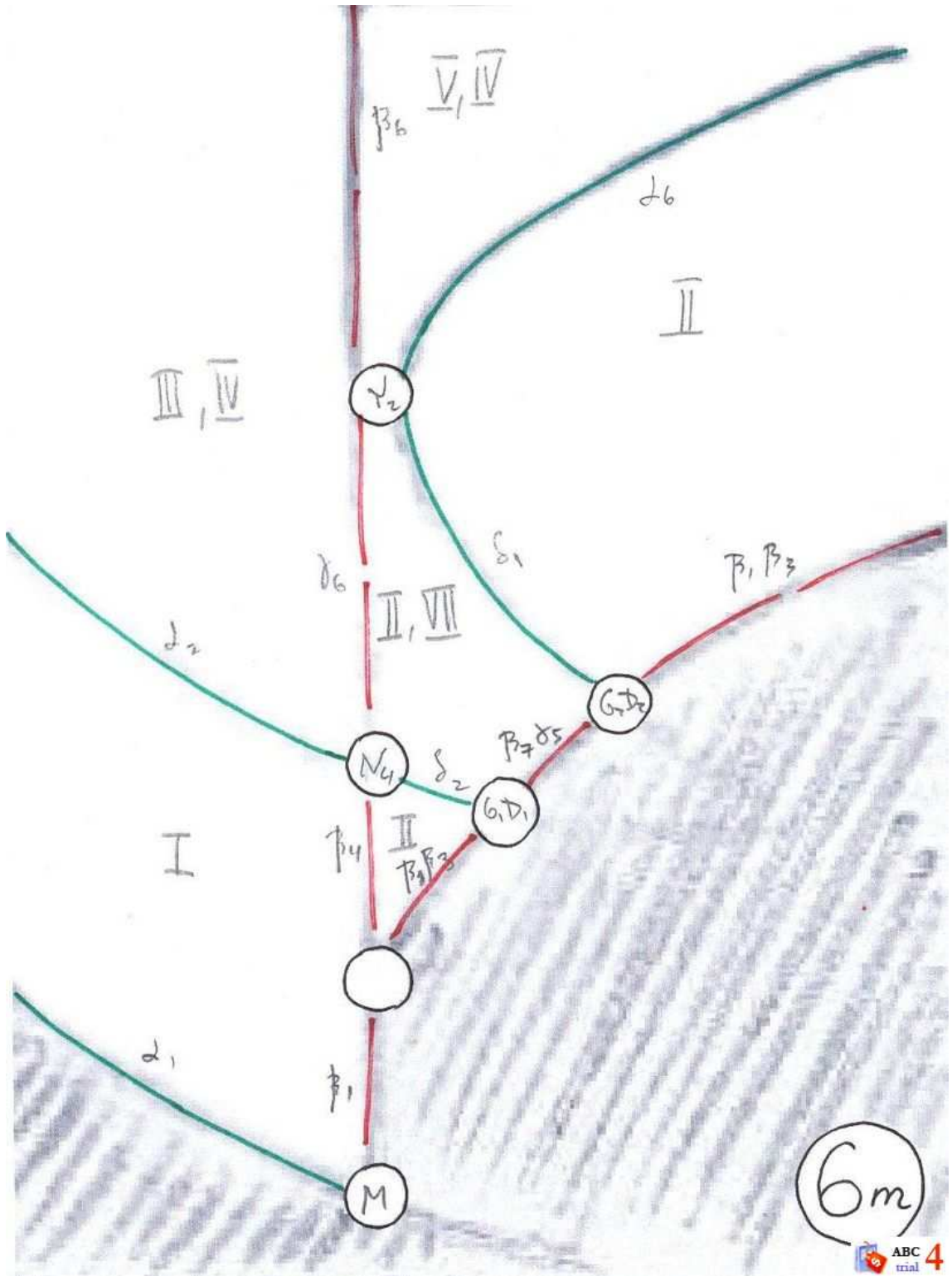


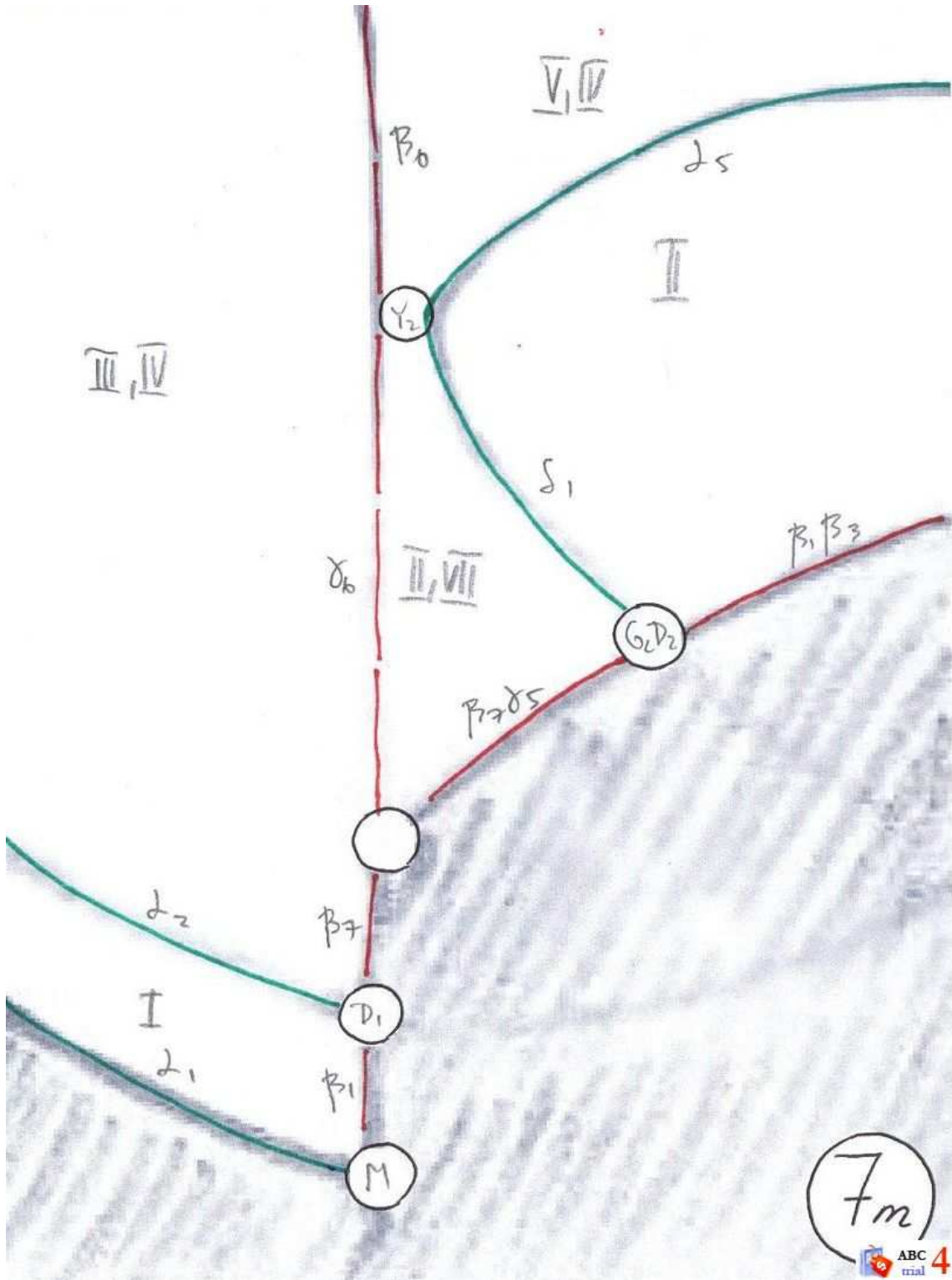












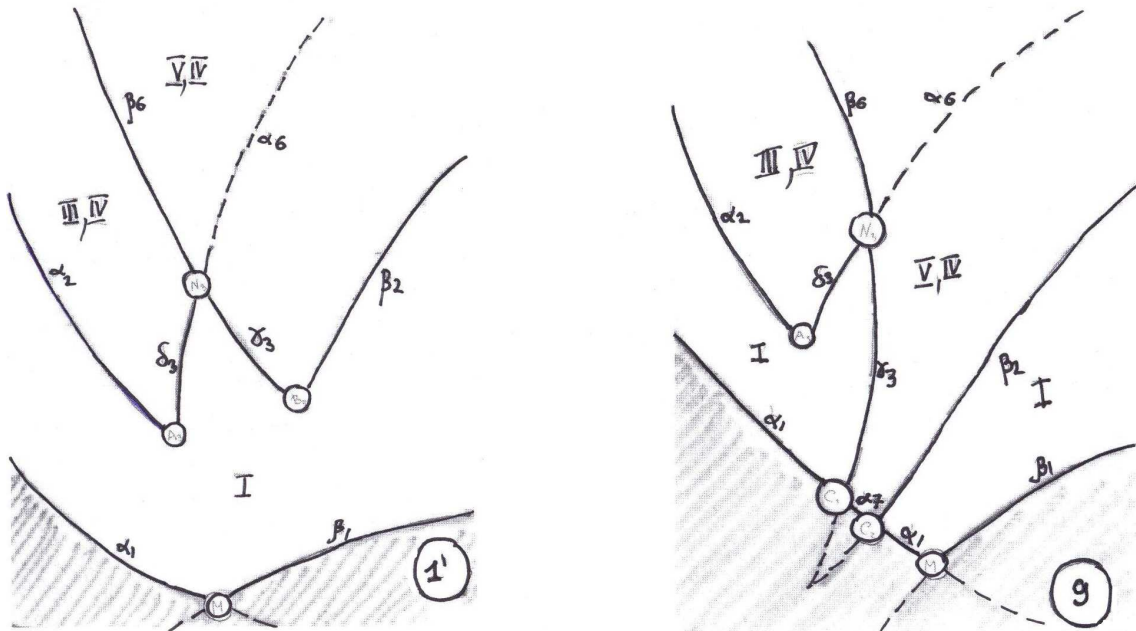
5 Продолжение грубой Лиувилевой классификации с осей на всю плоскость

Теорема. В предположении боттовости нашей системы, можно узнать семейства и перестройки торов Лиувилля на всем квадранте $\{g > 0, \lambda > 0\}$, за исключением четырех перестроек $(\delta_3, \delta_5, \gamma_3, \gamma_5)$, для этого достаточно информации, имеющейся в уже изученных случаях Ковалевской и Морозова. Все данные отмечены на схематических рисунках бифуркационных диаграмм (см. ниже).

Доказательство.

Покажем здесь наглядно, как расставить на диаграммах семейства и перестройки.

I. Для начала заметим, что многие камеры и стенки на бифуркационных диаграммах из разных областей совпадают (то есть на них можно поставить одинаковые буквы). При переходе из любой области (на которые $\mathbb{R}_{\lambda,g}^2$ делится разделяющими кривыми Γ_i) в соседнюю с ней, бифуркационные диаграммы изменяются лишь локально. То есть большинство камер и стенок в паре соседних диаграмм остаются прежними. Покажем это на примере перехода от диаграммы 1' к диаграмме 9 (см. также рис.1):

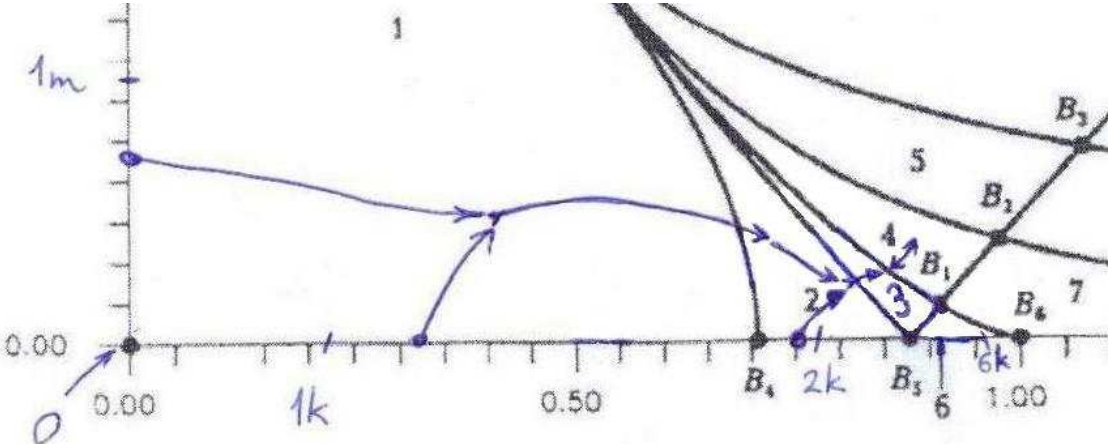


Видим, что произошли только локальные изменения - клюв $\gamma_3\beta_2$ проткнул стенку α_1 . Аналогичные локальные изменения, как можно непосредственно убедиться, происходят и во всех других случаях.

Почему эти локальные изменения диаграмм не влекут глобальных изменений в их лиувиллевом устройстве? (*)

Рассмотрим множество $\Sigma_{h,k}^{\lambda,g}$, как четырехмерное многообразие в $\mathbb{R}_{\lambda,g,h,k}^4$. Одинаковые камеры на соседних диаграммах являются одной камерой в $\Sigma_{h,k}^{\lambda,g}$ (из одной камеры можно попасть в другую при помощи гладкой кривой, зависящей от параметров g и λ). Для того чтобы $(*)$ было верно, нужна боттовость (невырожденность) нашей системы.

II. Подробнее разберем продолжение перестроек и семейств торов в диаграмму 4, зная устройство диаграмм 1m, 1k и 2k. Для этого мы перейдем в диаграмму 1 ($1k \rightarrow 1 \leftarrow 1m$), потом в диаграмму 2 ($1 \rightarrow 2 \leftarrow 2k$), потом в диаграмму 3 ($2 \rightarrow 3$, и, наконец, в диаграмму 4 (см. рис.)



Сначала мы должны совершить переход от 1m и 1k к 1. Он замечателен тем, что зная отдельно классификацию 1m или 1k, полностью продолжить все в 1 не удалось бы. Но эти два случая так замечательно друг друга дополняют, что продолжение возможно!

Переход от 1k к 1: Эти диаграммы отличаются тем, что крайняя левая стенка $\alpha_1\alpha_3$ разделилась на две - α_1 и α_3 (которые, вообще говоря для этой диаграммы являются новыми, но, как мы увидим потом, они придут из диаграммы 1m) и появилась точка касания стенок β_5 с α_3 , образовав две новые - α_2 и β_6 (которые также имеются в диаграмме 1m). Заметим, что при переходе от 1 к 1k, эта точка касания уходит на бесконечность. Далее, в трещину между стенками α_1 и α_3 затекло семейство торов I, а все остальные семейства и перестройки не изменяются в силу боттовости системы.

Переход от 1m к 1: Эти диаграммы отличаются тем, что стенка $\beta_1\beta_3$ разделилась на две - β_1 и β_3 (которые уже есть в 1k) и появилась точка касания стенки α_5 с β_3 , образовав две новые - β_2 и α_6 (которые также имеются в диаграмме 1k). Заметим, что при переходе от 1 к 1m, эта точка касания уходит на бесконечность. Далее, в трещину между стенками β_1 и β_3 затекло семейство торов I (все очень похоже на переход от 1k к 1).

Итак, мы продолжили классификацию в нашу первую камеру.

Перейдем теперь от 1 к 2. Эти диаграммы превращаются друг в друга так: точки N_1, B_1, X_1 схлопываются в одну точку в момент перехода через разделяющую кривую в $\mathbb{R}_{\lambda,g}^2$, а затем расходятся обратно, превращаясь в точки N_2, B_2, X_2 . На бифуркационной кривой при этом происходит следующее: особые точки были в порядке "пересечение-возврат-касание" становятся - "касание-возврат-пересечение". Клюв $\beta_4\beta_3$ заворачивается внутрь клюва $\alpha_3\alpha_4$, исчезает стенка α_5 , появляются δ_6, γ_1 и γ_2 (мы их узнаем из 2k). Область II исчезает, и появляется область I, VI, VIII (которая также есть в 2k). Все остальное неизменно.

Переход от 2k к 2: Абсолютно аналогично переходу от 1k к 1. То есть эта локальная перестройка диаграмм не пересекается с перестройкой между 1 и 2.

Переход от 2 к 3 заключается в том, что клюв $\gamma_1\gamma_2$ пересекает стенку α_3 . При этом появляются три новых камеры (ограниченных соответственно стенками $(\gamma_3, \beta_2, \delta_5)$, $(\alpha_3, \beta_5, \gamma_1)$ и $(\alpha_3, \alpha_4, \gamma_2)$), и две новых перестройки (γ_3, β_5) . Камера с семействами I, VI при переходе от 2 к 3 разделится на две части (две последних новых камеры), но в каждой из них эти семейства сохраняются (из-за того, что из одной части можно попасть в другую при помощи гладкой кривой, зависящей от параметров g и λ). Камера, ограниченная стенками $(\gamma_3, \beta_2, \delta_5)$ будет содержать семейства V, IV (это будет видно при переходе от 3 к 4). Таким образом, во всех камерах нам стали известны семейства торов. С перестройками на этой диаграмме, к сожалению, метод не помогает. Появляются новые стенки γ_3 и β_5 , типы которых мы не можем пока узнать (после доказательства теоремы см. гипотезу на этот счет).

Переход от 3 к 4. Объясним, почему в первой новой камере (для перехода от 2 к 3) будут семейства V, IV. При переходе из 3 в 4, клюв $\delta_5\alpha_3\alpha_4\delta_6$ перестает пересекать стенку $\beta_2\gamma_2\beta_2$ и наша новая камера соединяется с камерой, ограниченной α_6 , δ_6 и β_6 , в которой как раз и живут эти два семейства торов. Диаграмма 4 менее интересна, чем диаграмма 3, потому что 3 содержит все, что есть в 4.

Итак, цель нашего путешествия достигнута. Мы попали в диаграмму 4.

III. Аналогичными рассуждениями были продолжены перестройки и семейства торов на все 18 диаграмм. Появились четыре новых стенки, которым не удалось приписать какую-либо известную перестройку из случая Ковалевской или Морозова. Новых семейств торов не появилось. Обход камер удобно делать в следующем порядке, за два прохода:

$$0 \rightarrow 1 \rightarrow 2' \rightarrow 3' \rightarrow 4' \rightarrow 5' \rightarrow 1' \rightarrow 9' \rightarrow 8' \rightarrow 7' \rightarrow 6',$$

$$0 \rightarrow 1 \rightarrow 2 \rightarrow 3 \rightarrow 4 \rightarrow 5 \rightarrow 1' \rightarrow 9 \rightarrow 8 \rightarrow 7 \rightarrow 6.$$

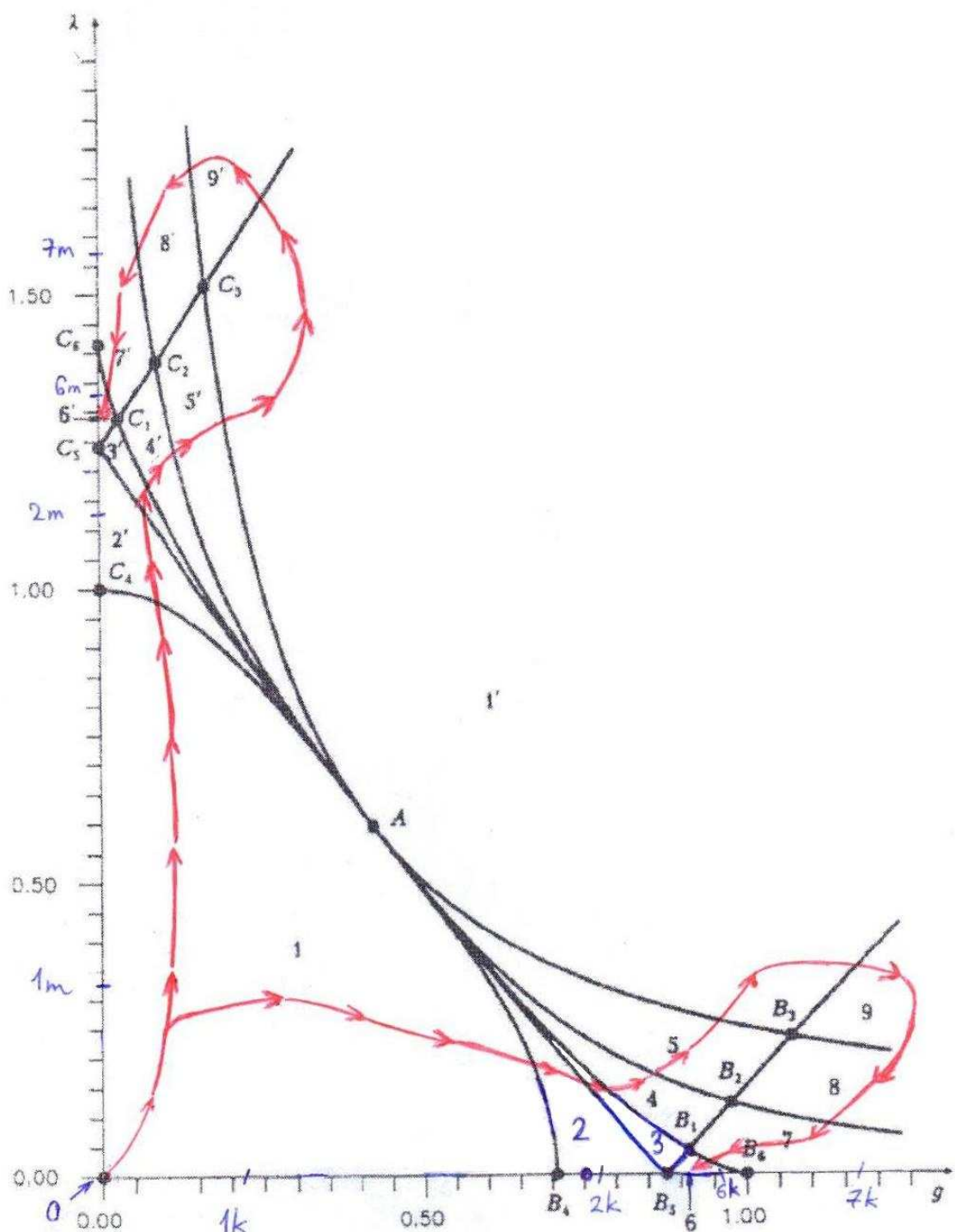
Это наглядно показано на следующих рисунках. На первом нарисованы пути обхождения диаграмм по плоскости $\mathbb{R}_{\lambda,g}^2$, два следующих иллюстрируют связь между соседними диаграммами - картиночки с диаграммами имеют общую сторону, если соответствующие области в $\mathbb{R}_{\lambda,g}^2$ граничат между собой. На этих рисунках хорошо видна локальность в различиях между соседними диаграммами, затем приведен 21 рисунок, на котором в описанном выше порядке расположены наши диаграммы с расставленными на них семействами и перестройками торов Лиувилля.

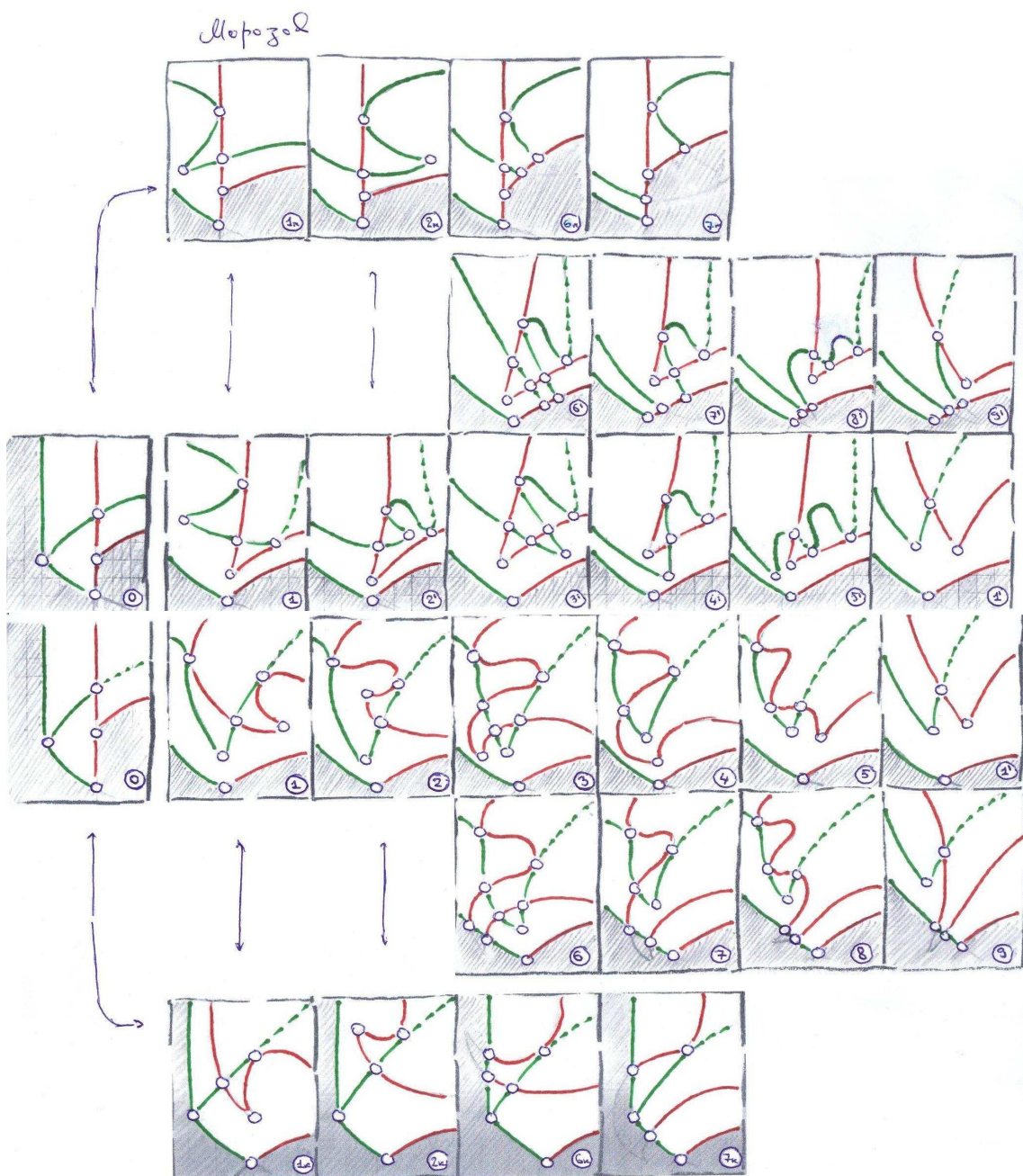
Проверка продолжения в остальные области предоставляется читателю. ■

Замечание. Гипотеза насчет четырех неизвестных перестроек.

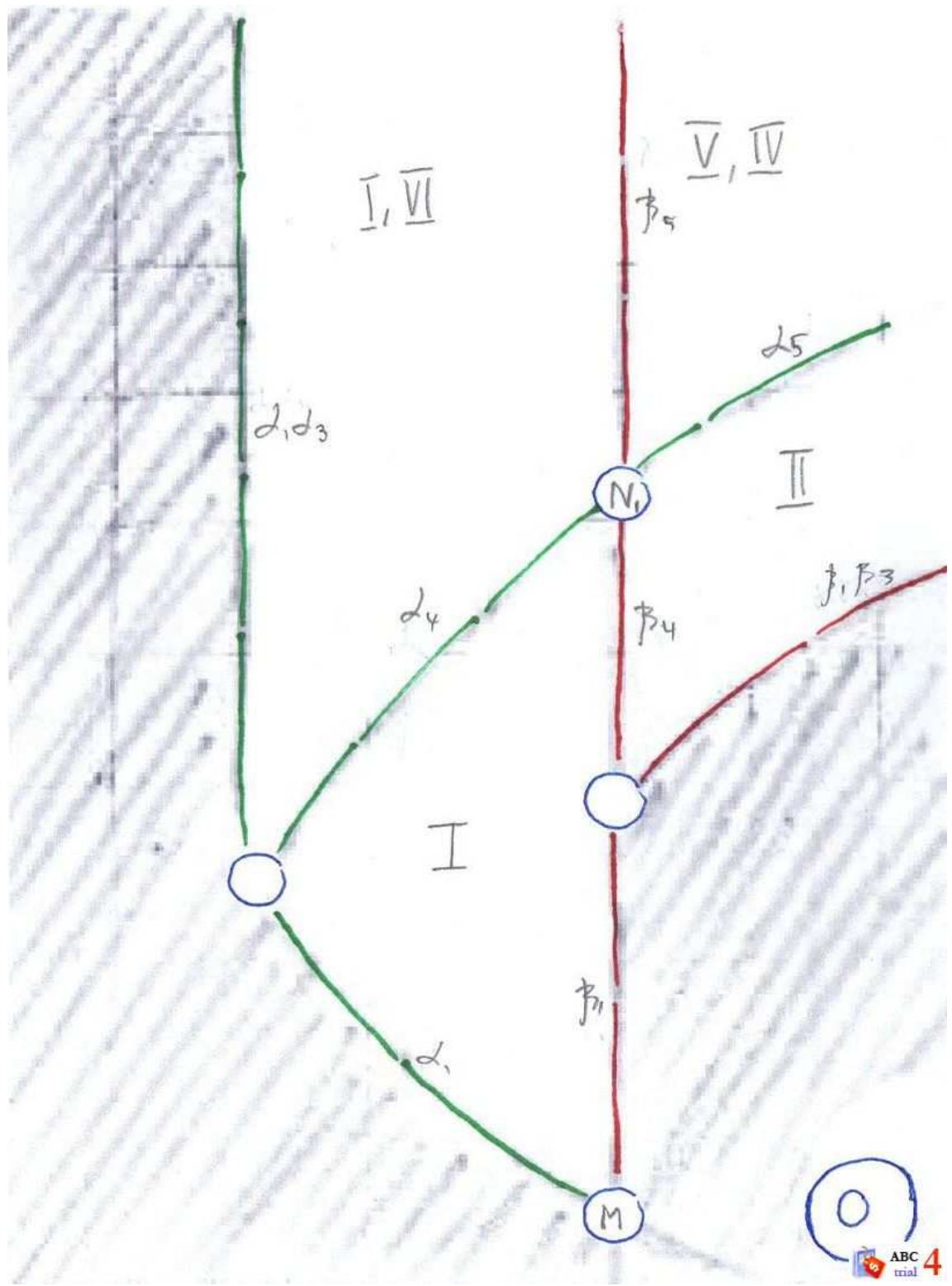
В работе Н.С.Логачевой были вычислены индексы и типы критических точек, являющихся положениями равновесия (или, что то же самое, точками пересечения бифуркационных кривых). Каждая стенка, отвечающая неизвестной перестройке, входит одним концом в такую точку. И каждая из этих перестроек оказывается центровой, то есть представляет собой один или несколько атомов A .

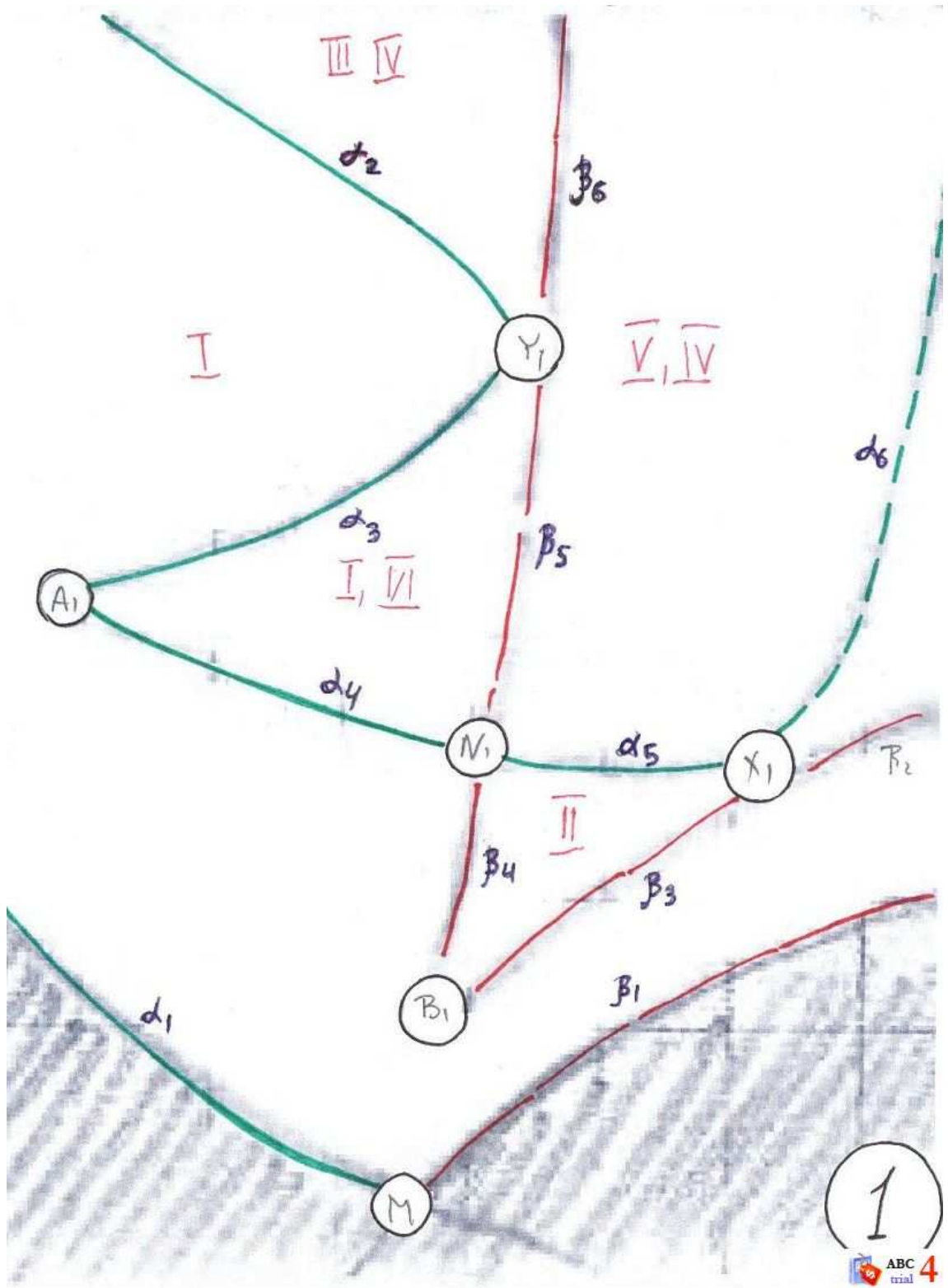
Если типа критической точки действительно достаточно для определения перестройки, то тогда грубая Лиувиллевская классификация случая Ковалевской-Яхни может считаться завершенной.

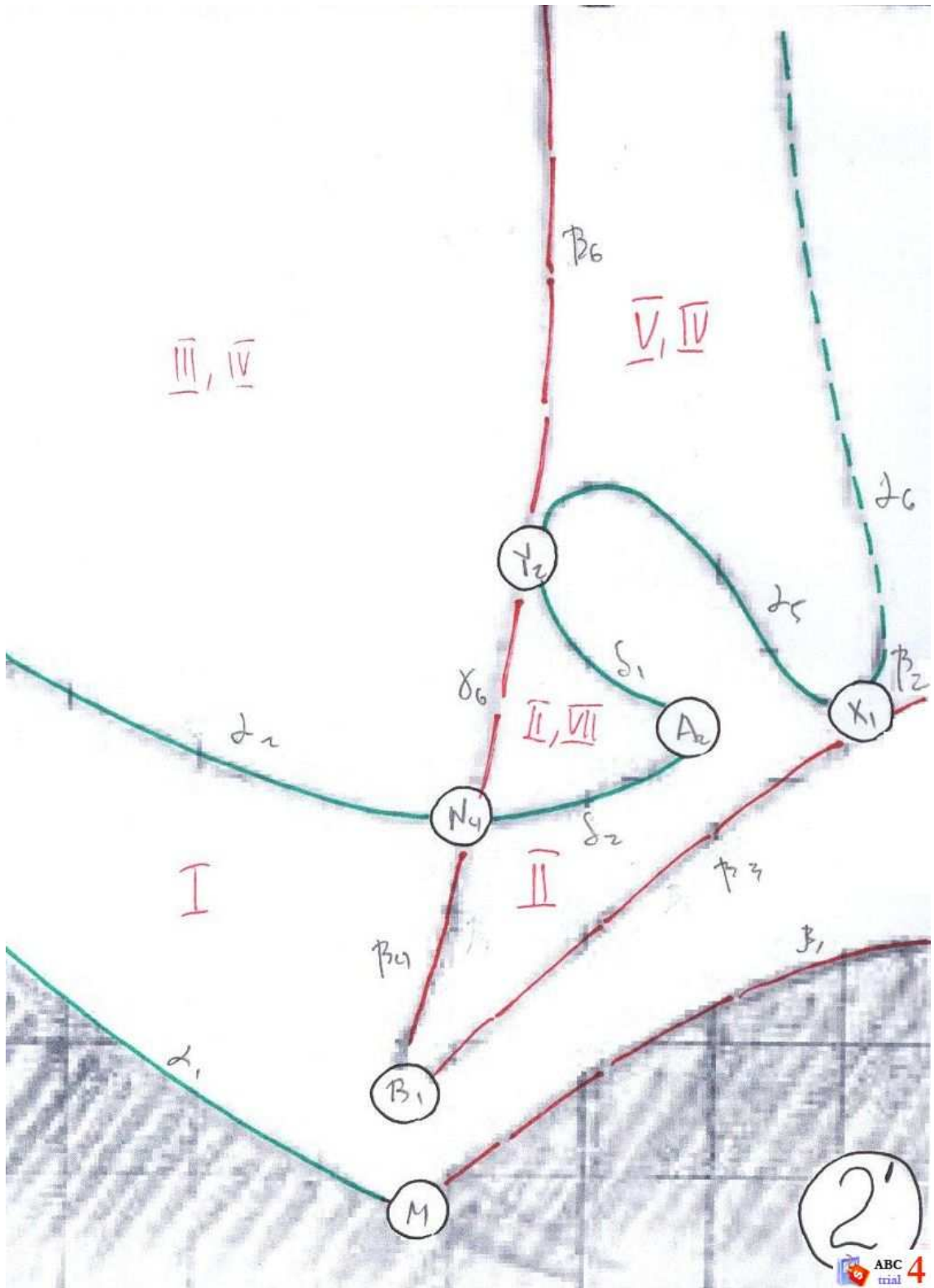


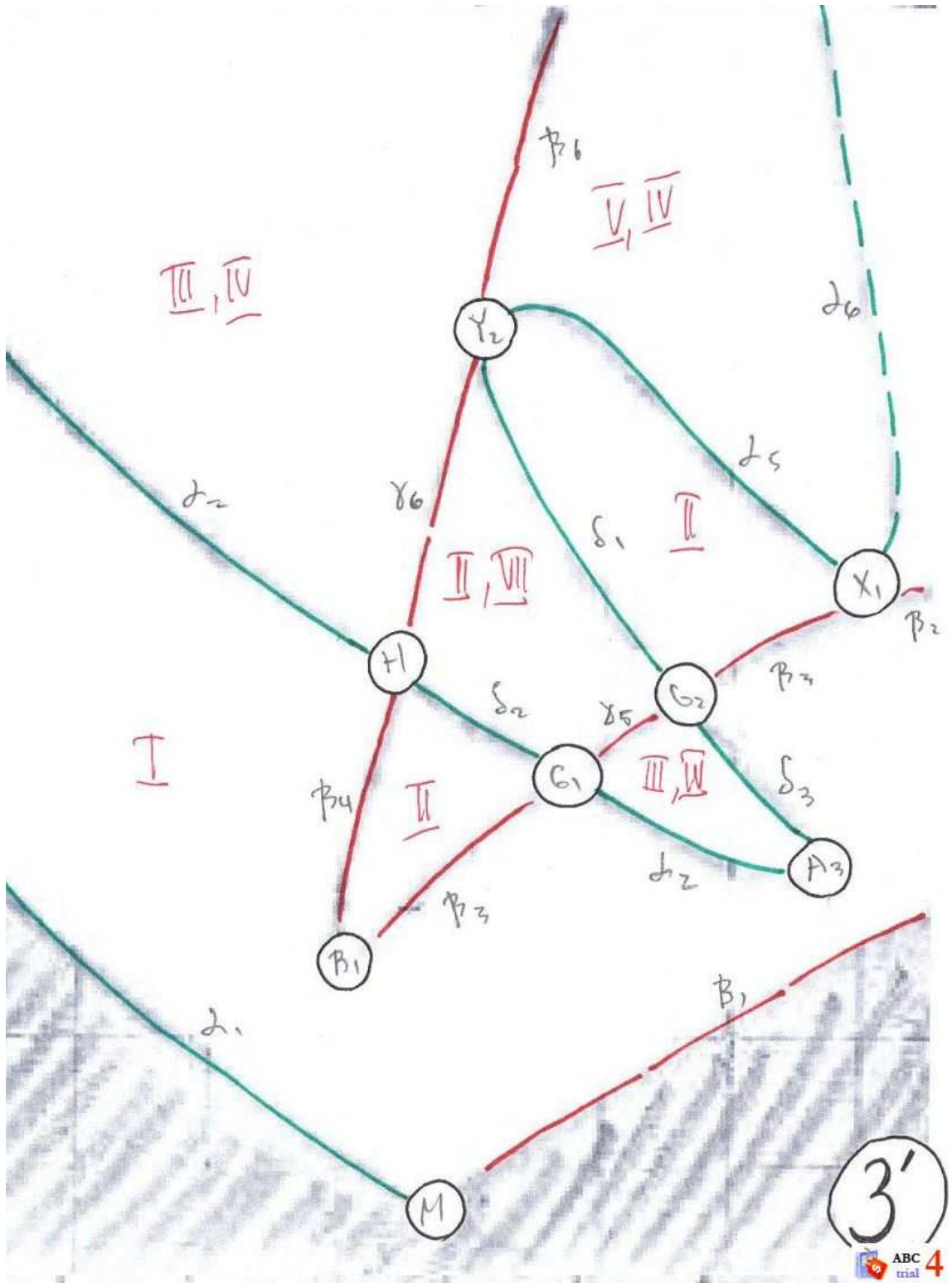


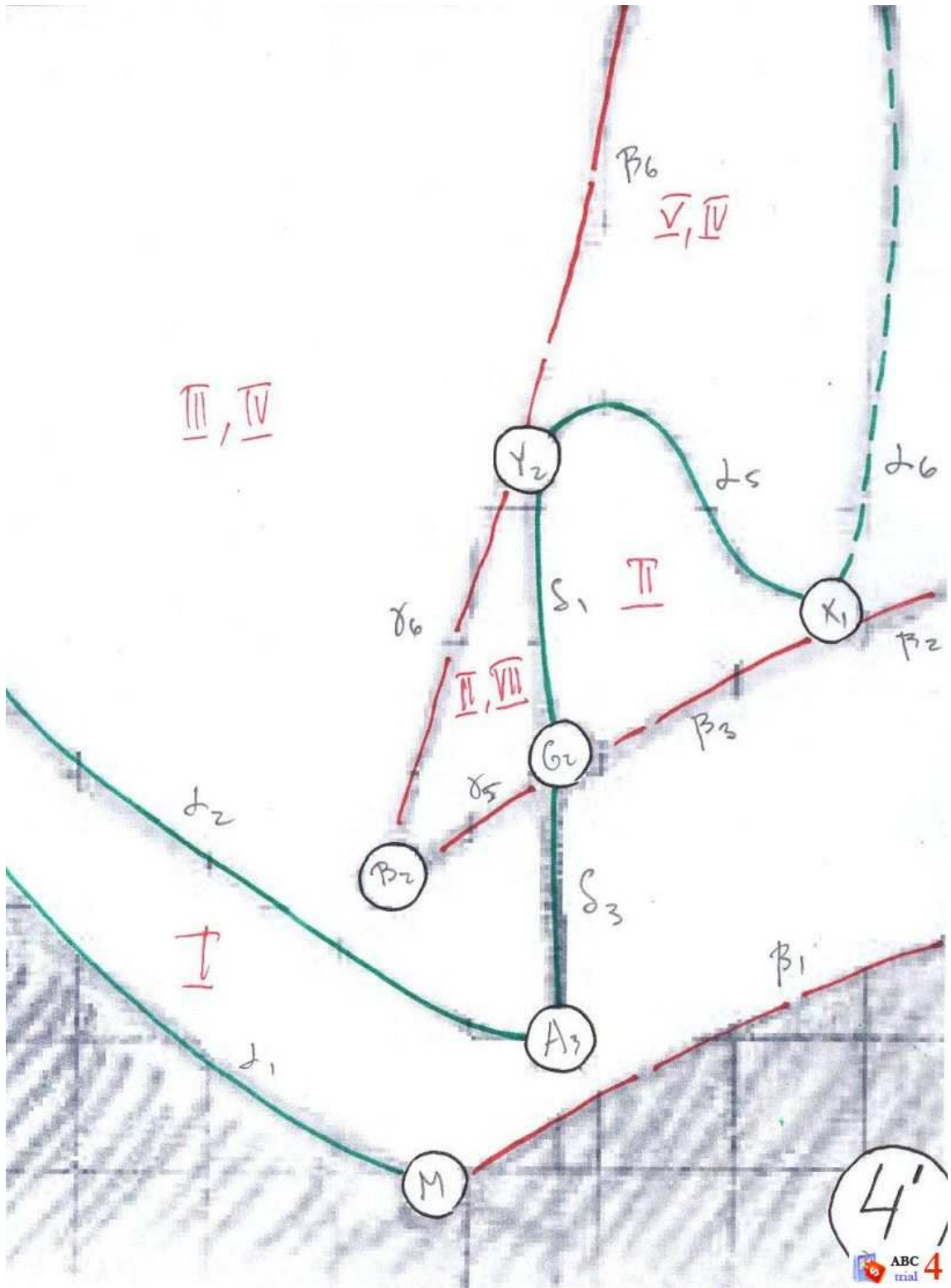
Роботизация

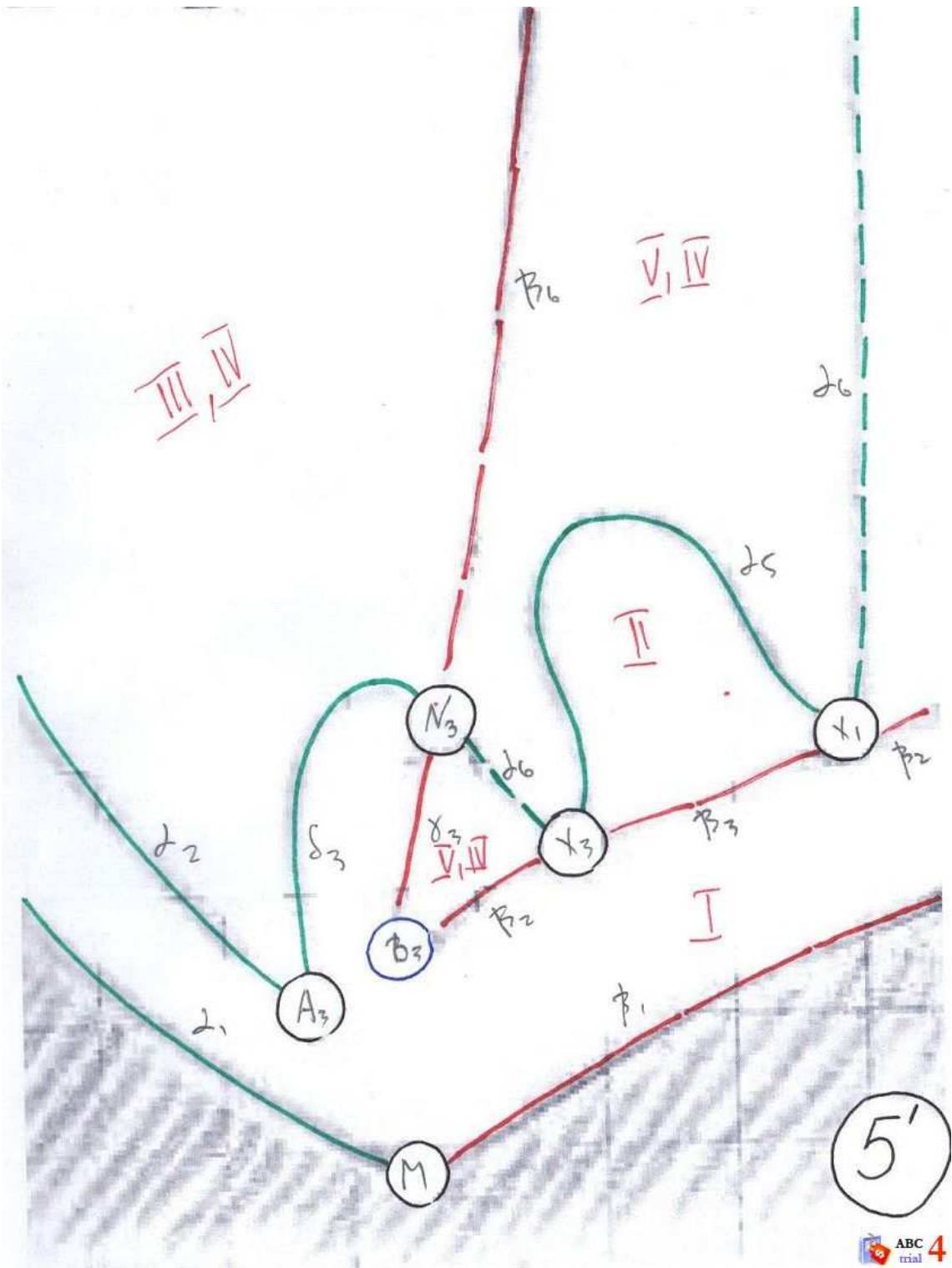


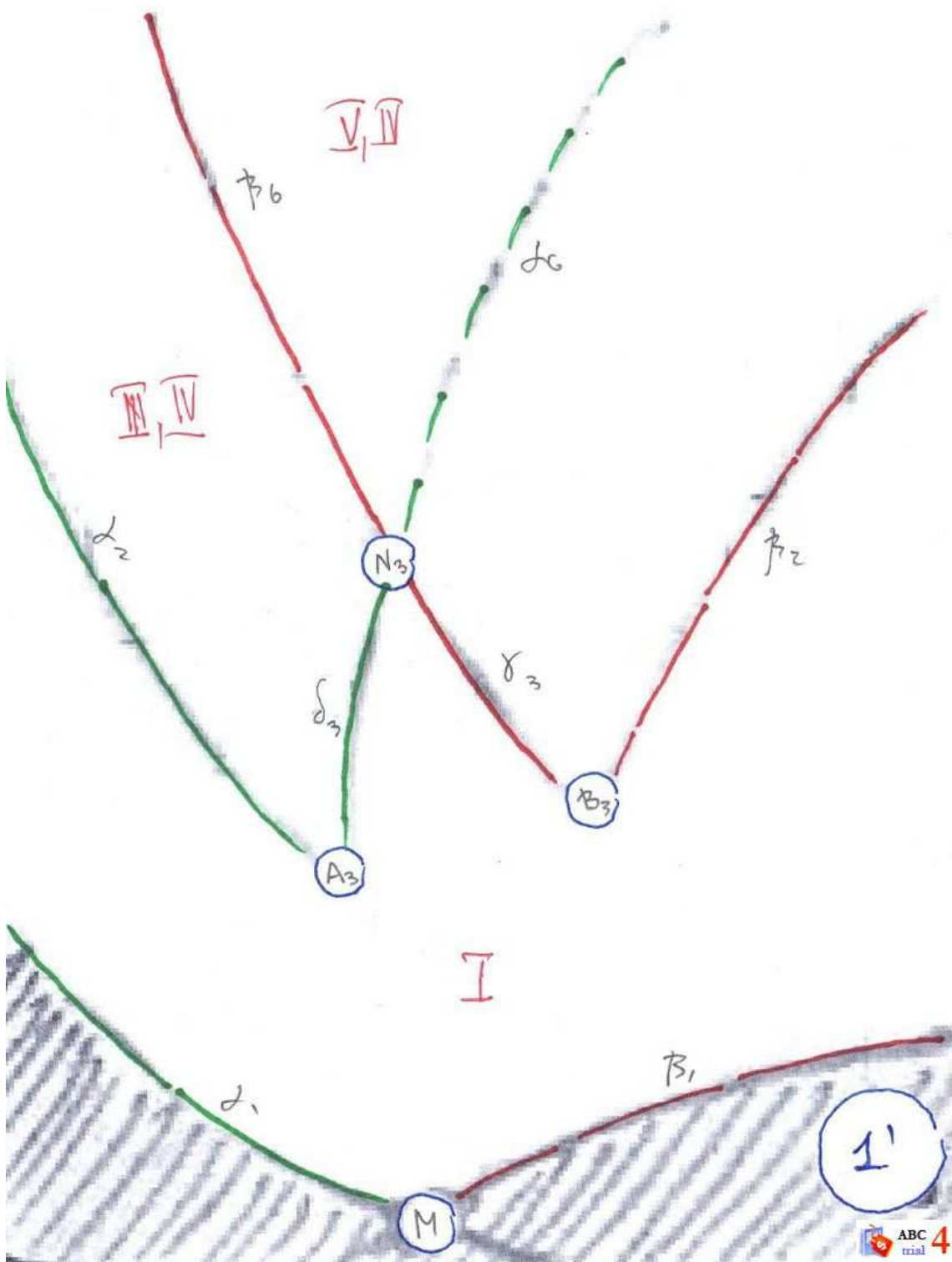


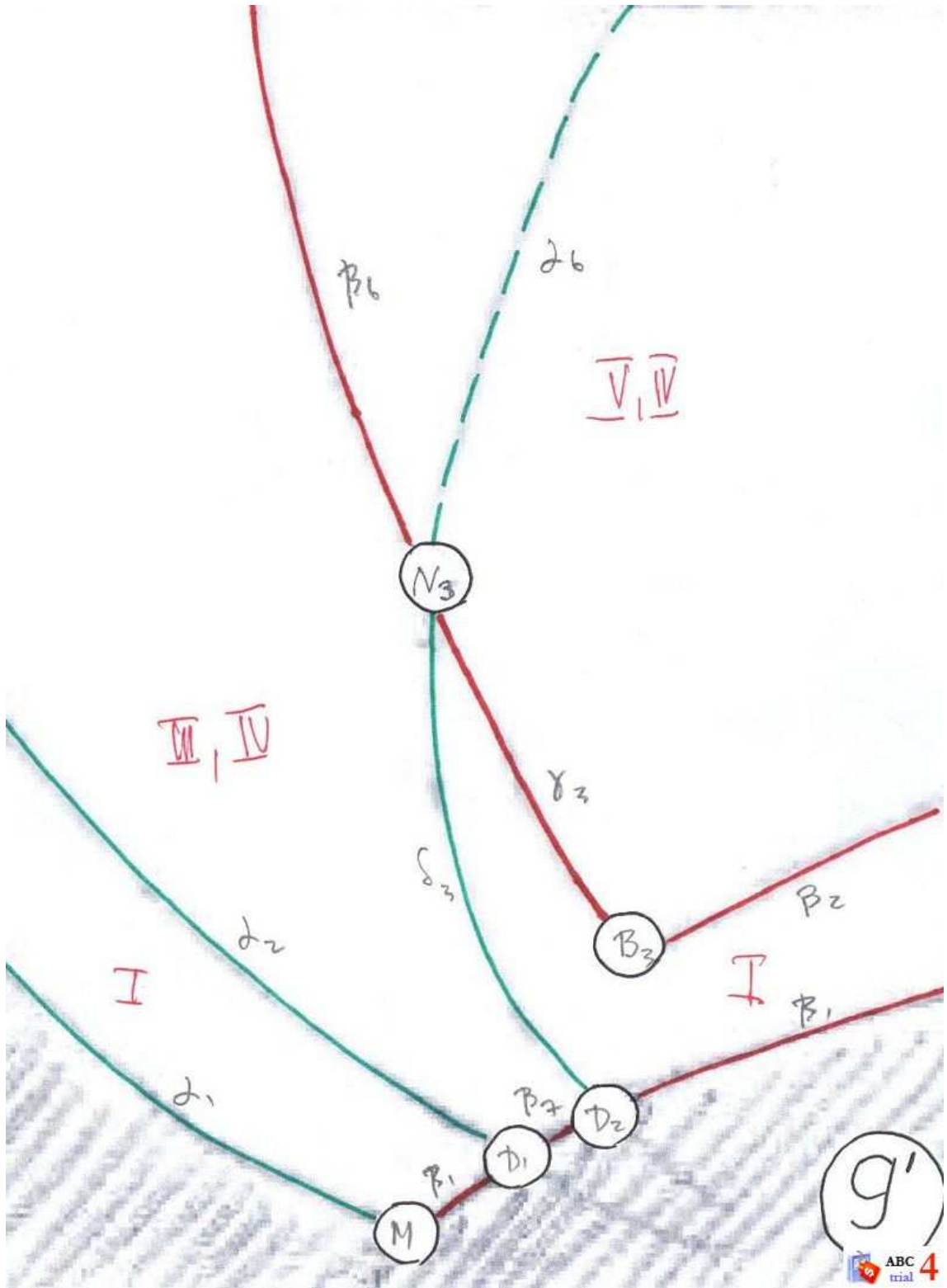


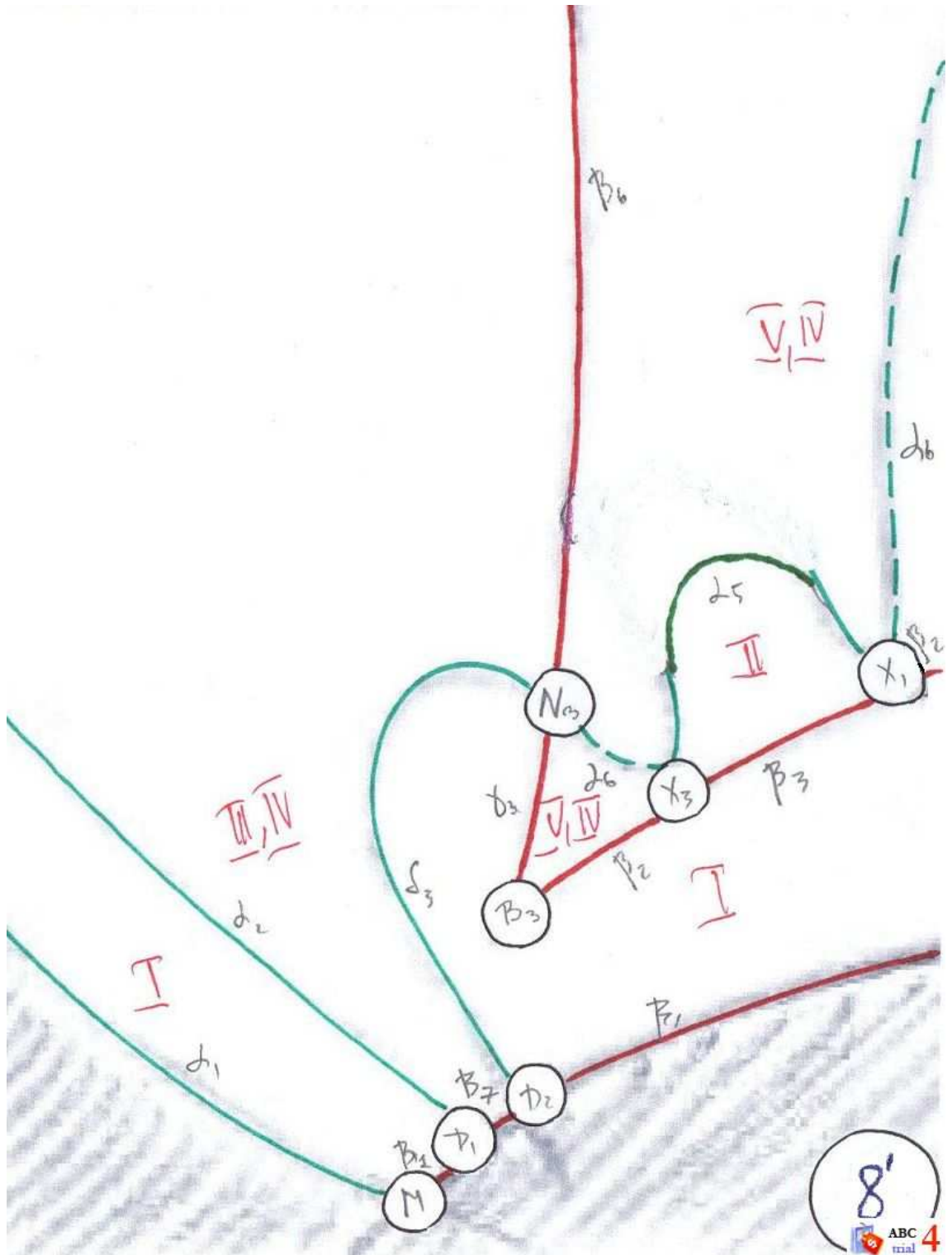


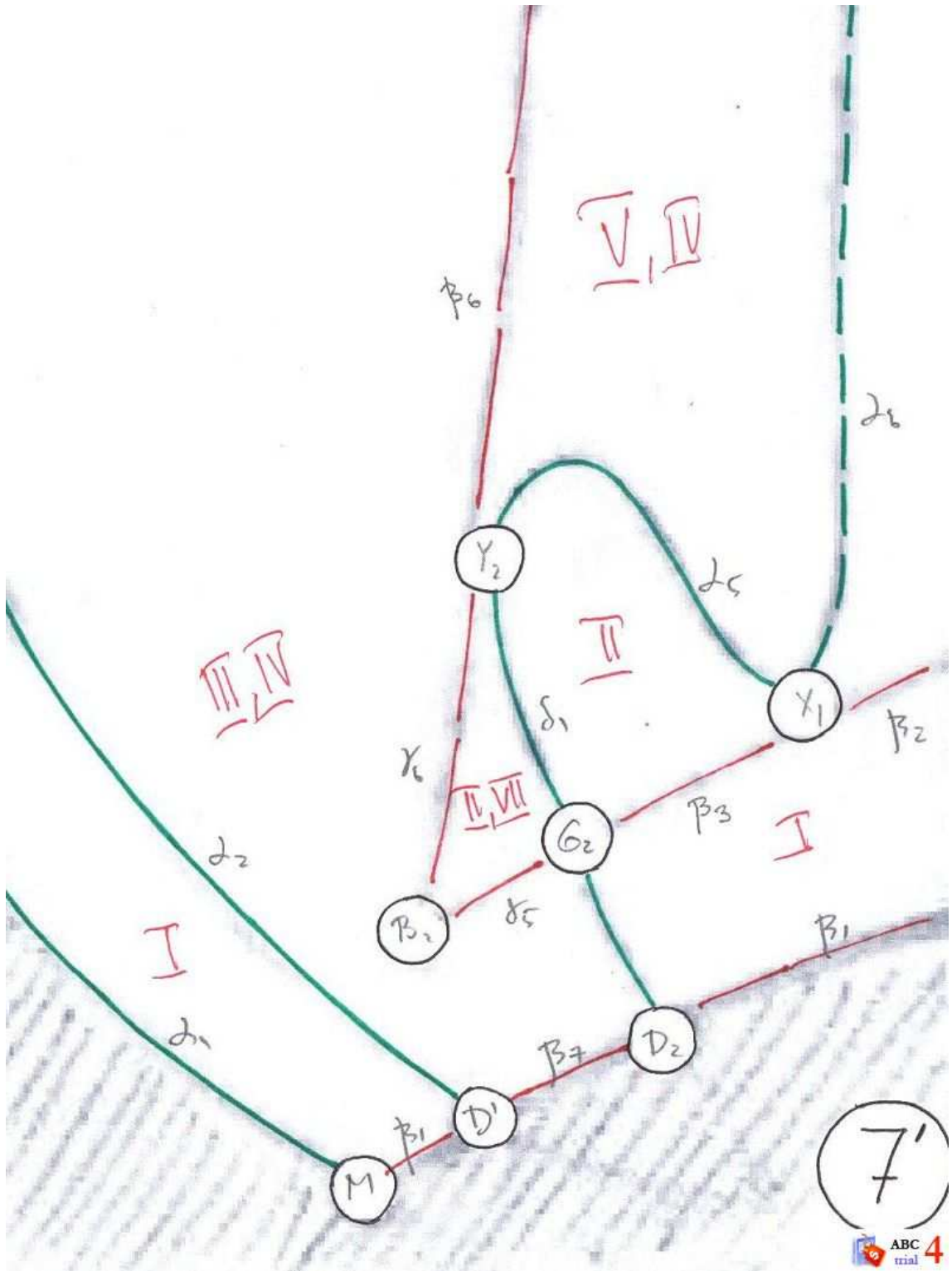


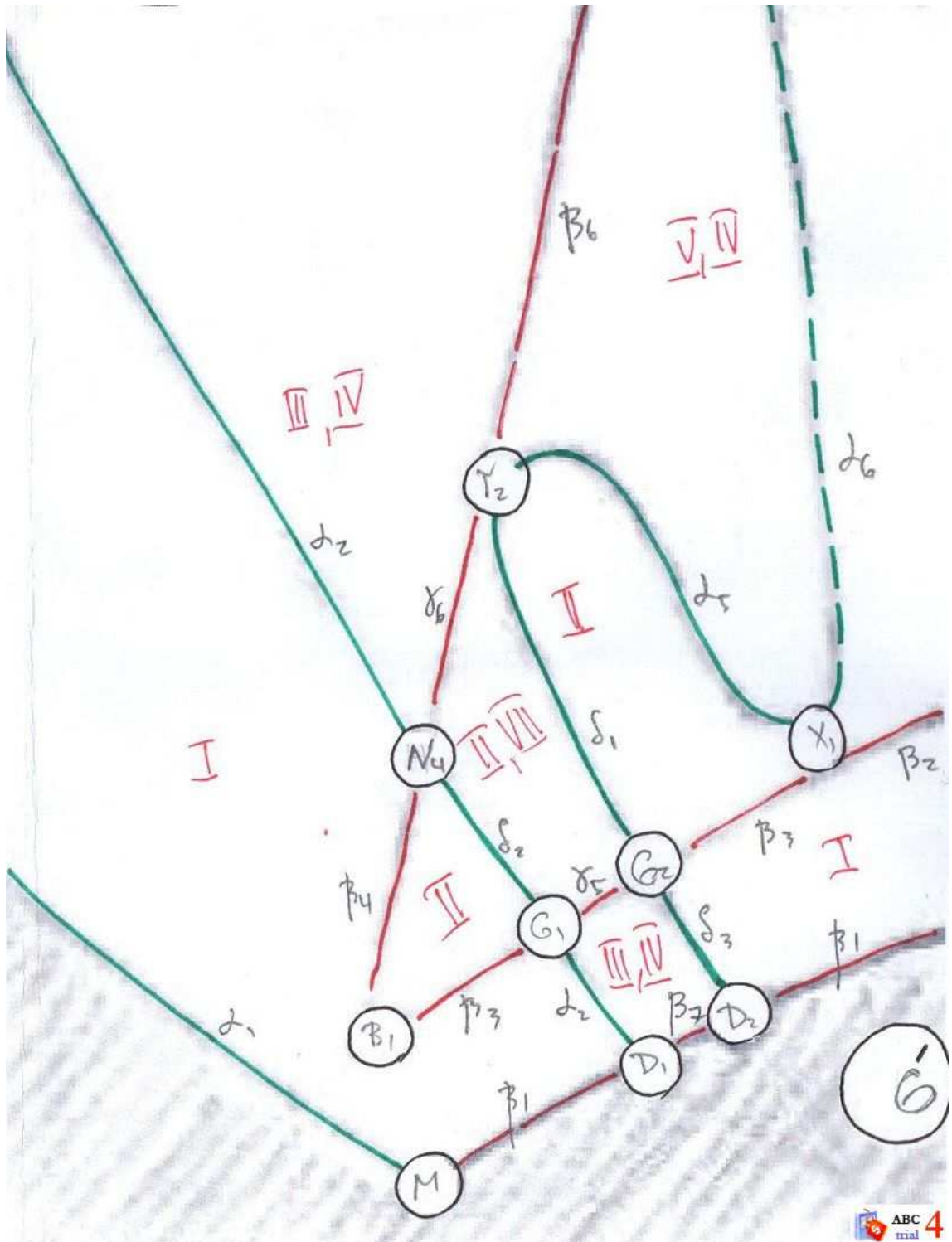


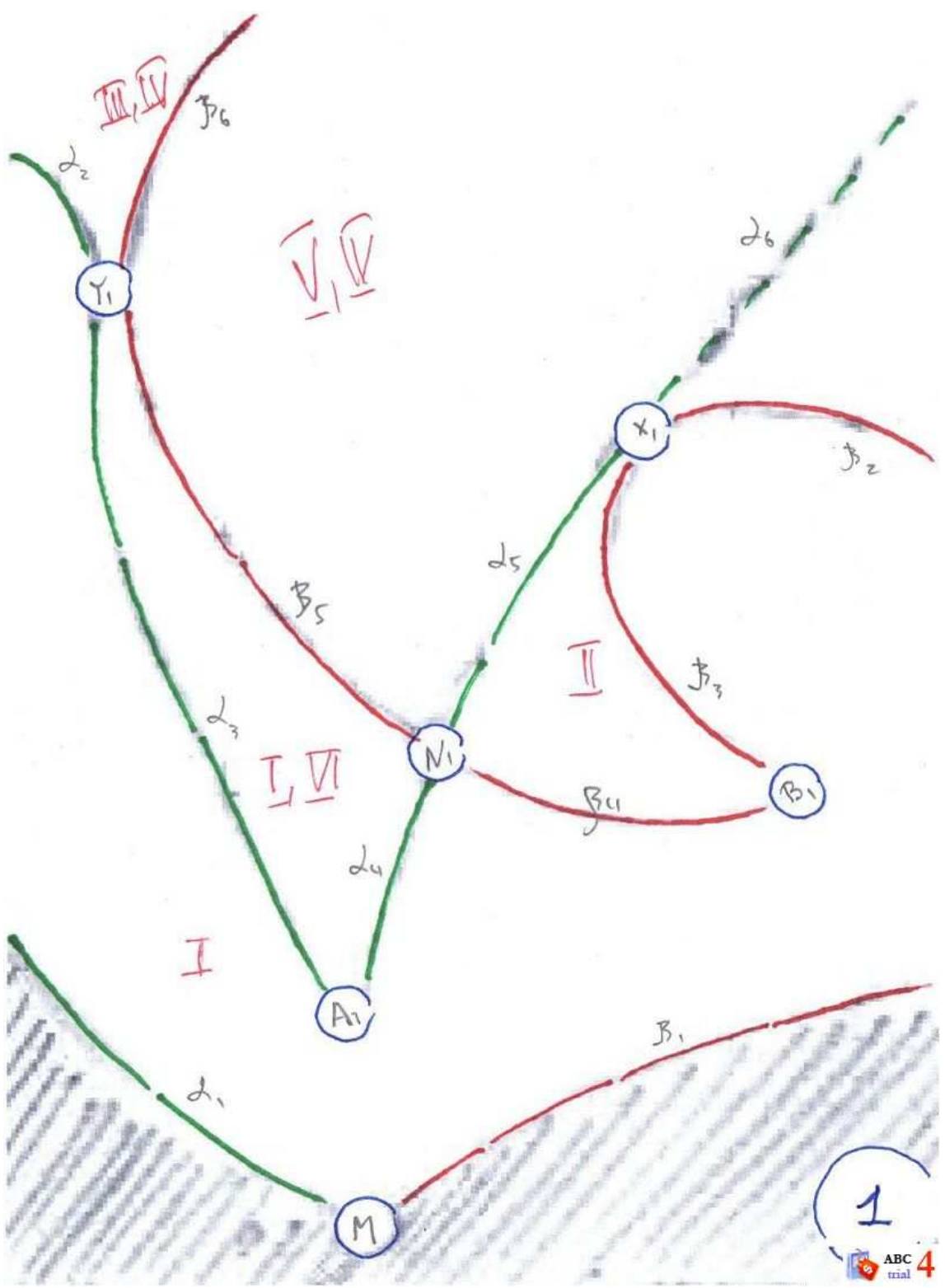


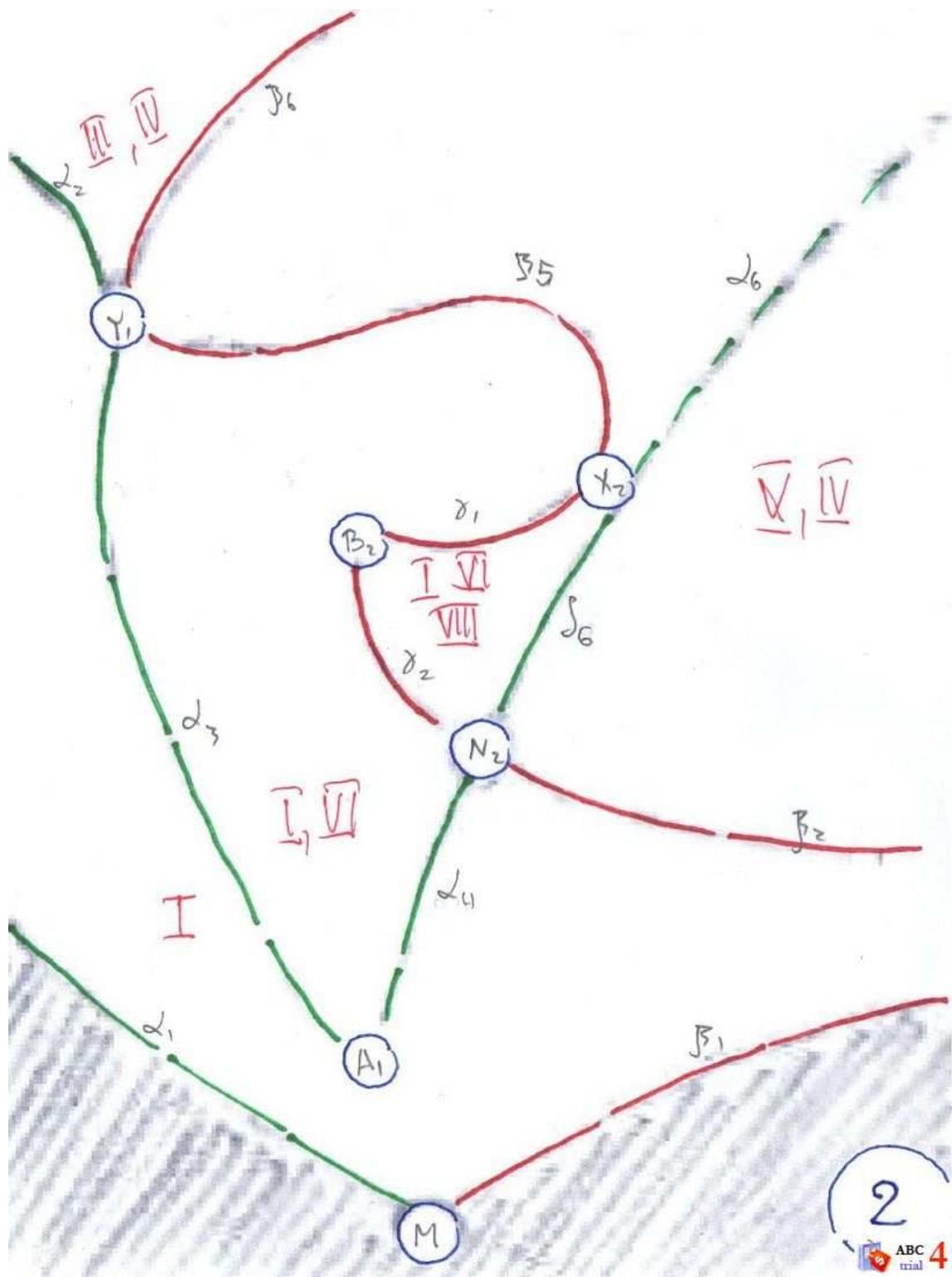


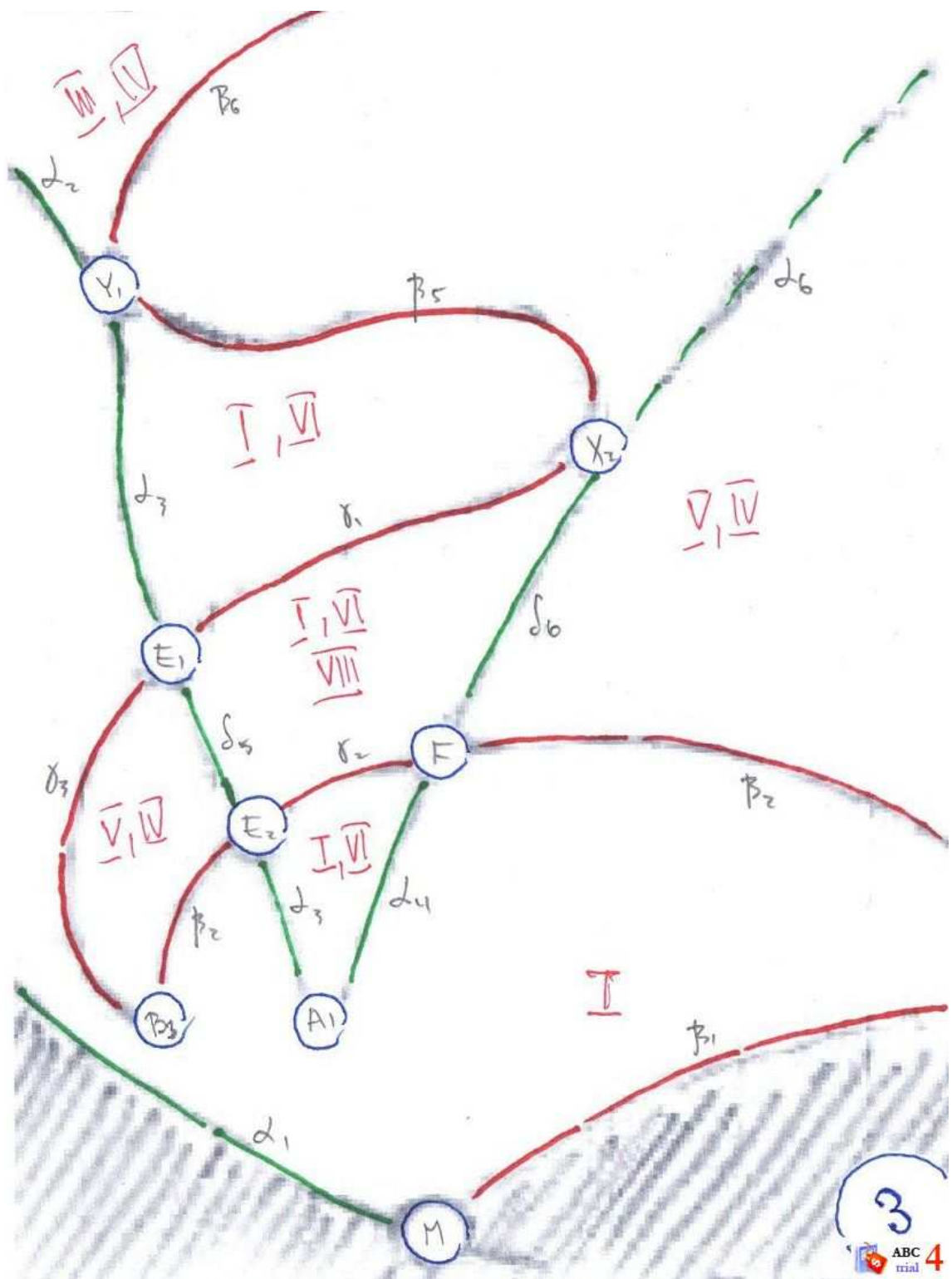


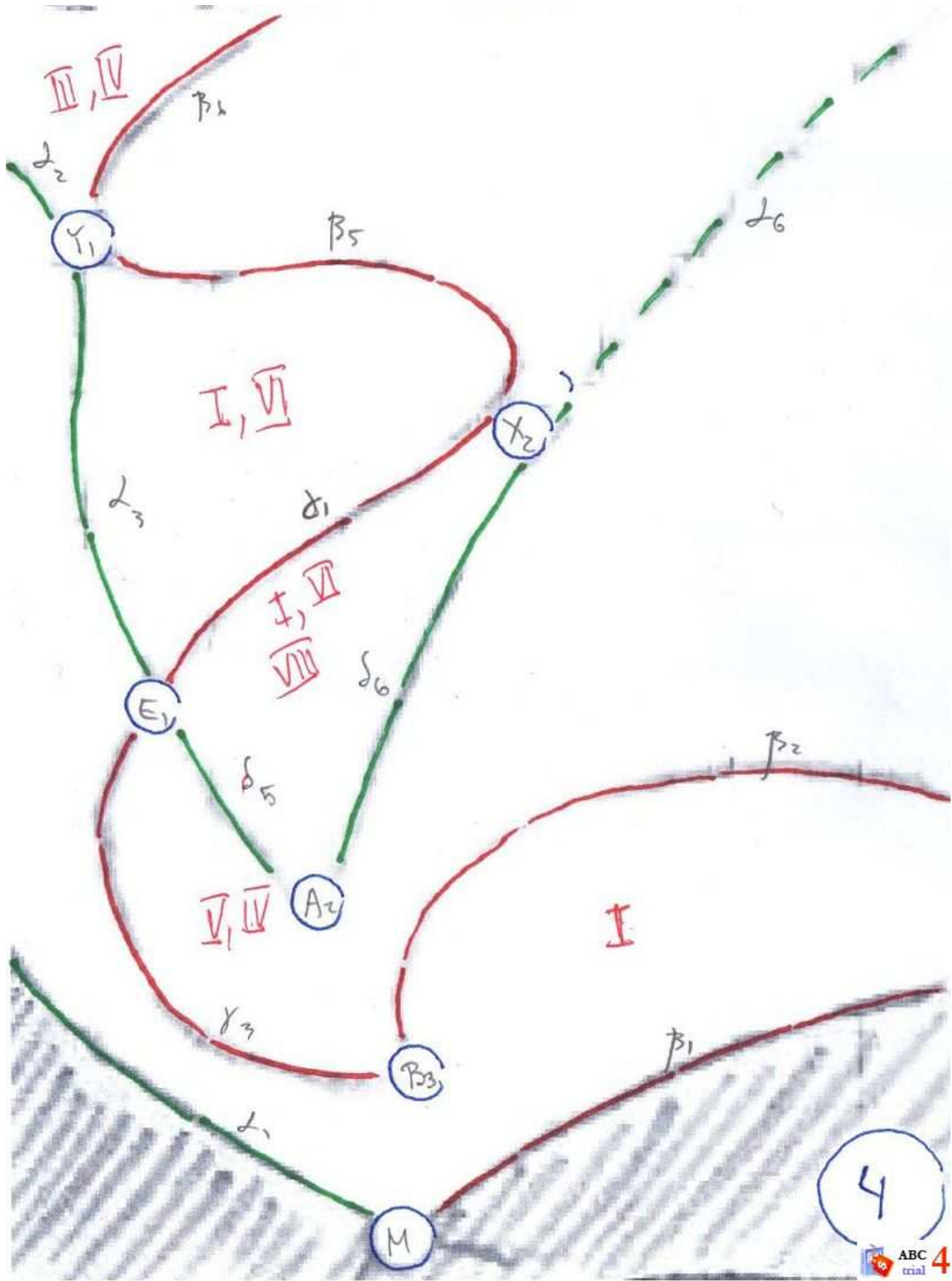


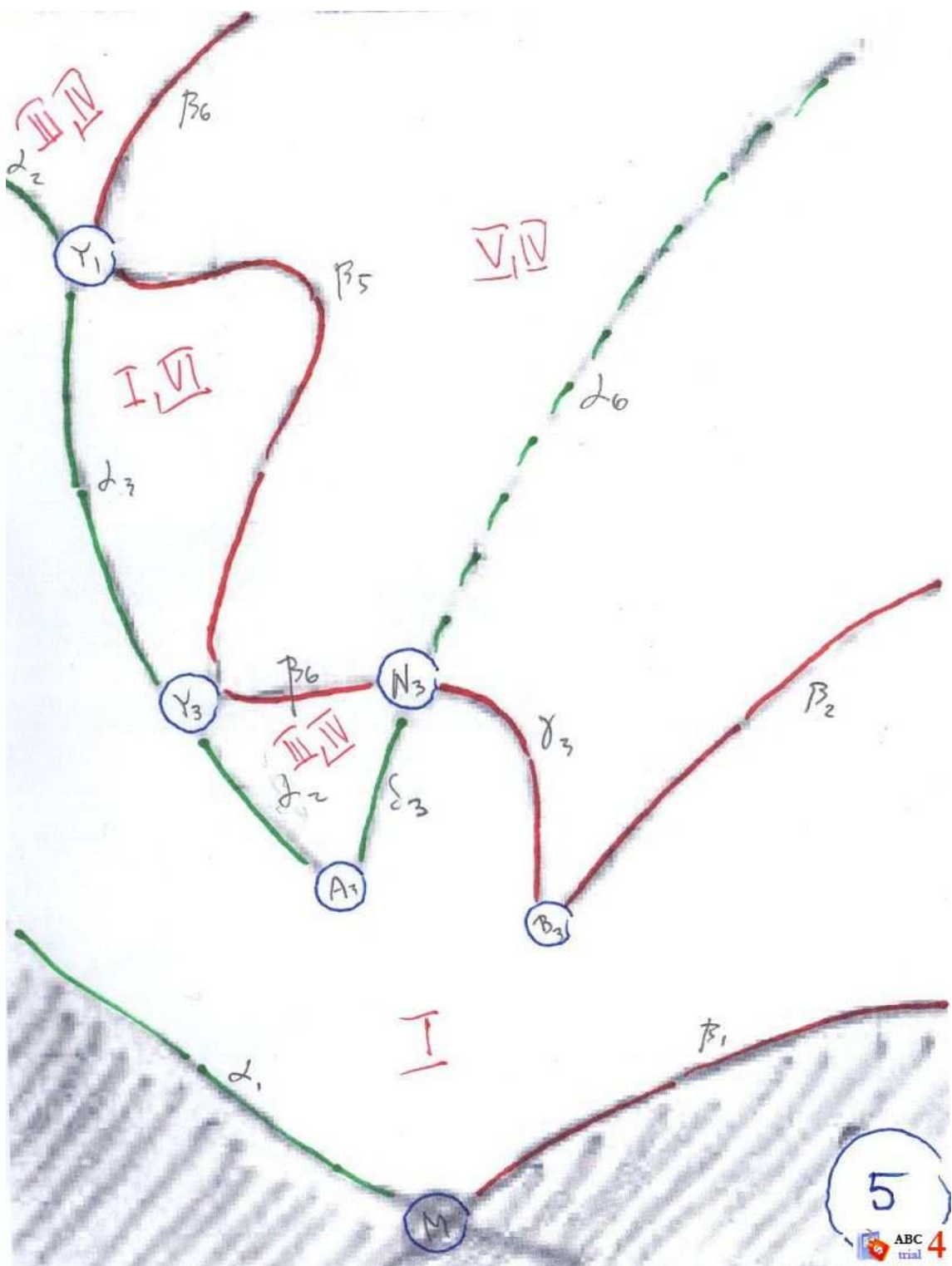


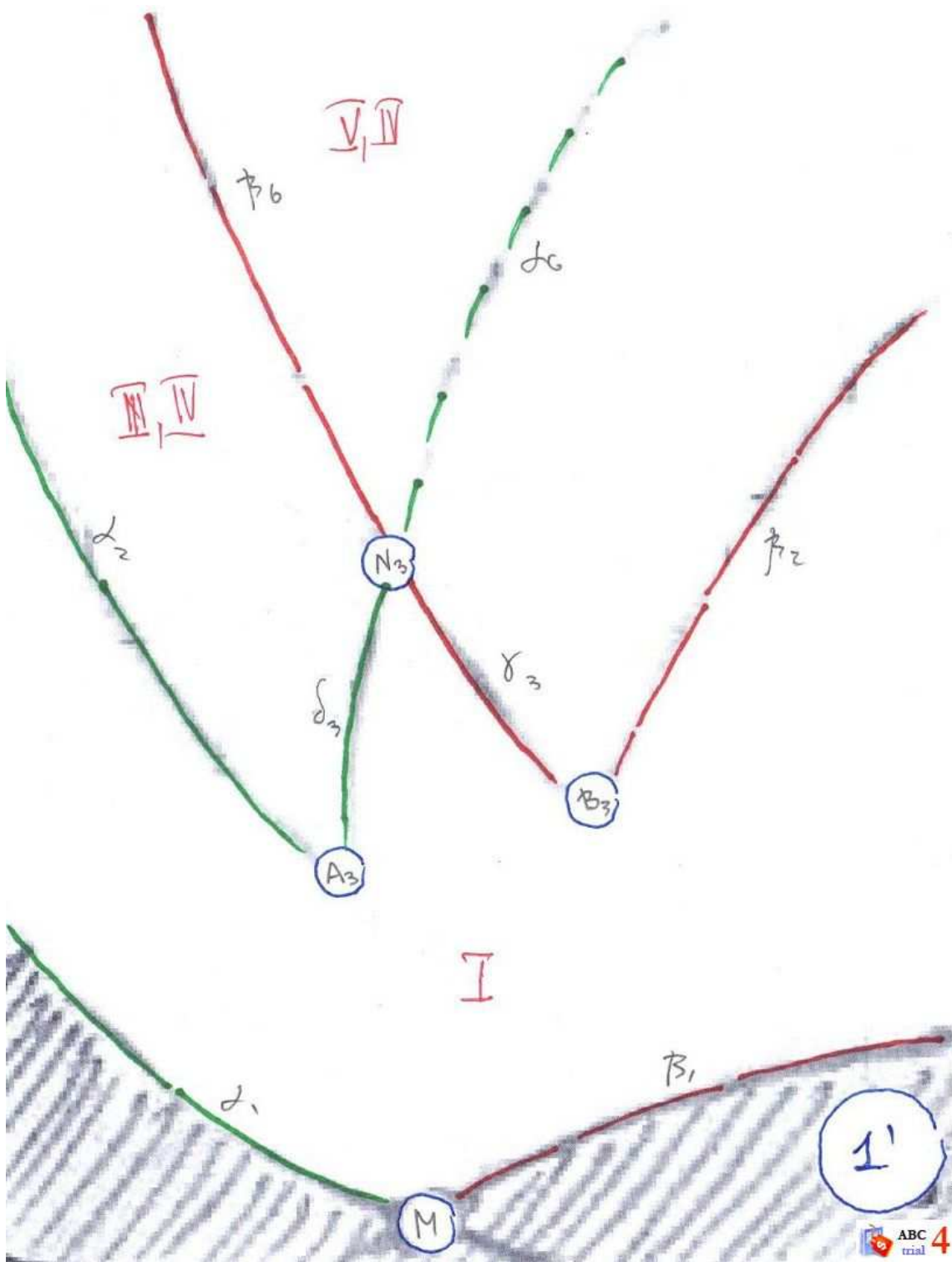


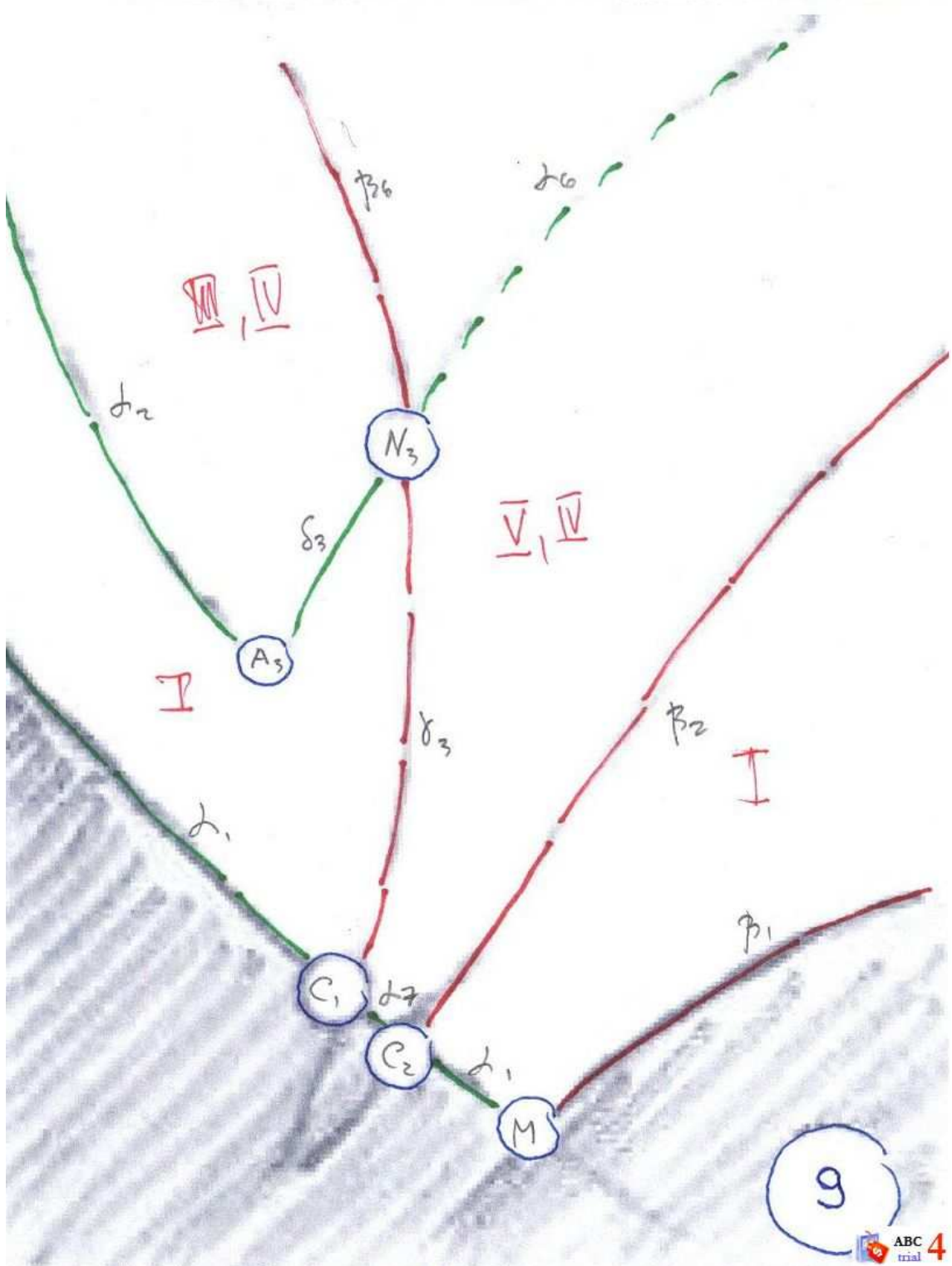


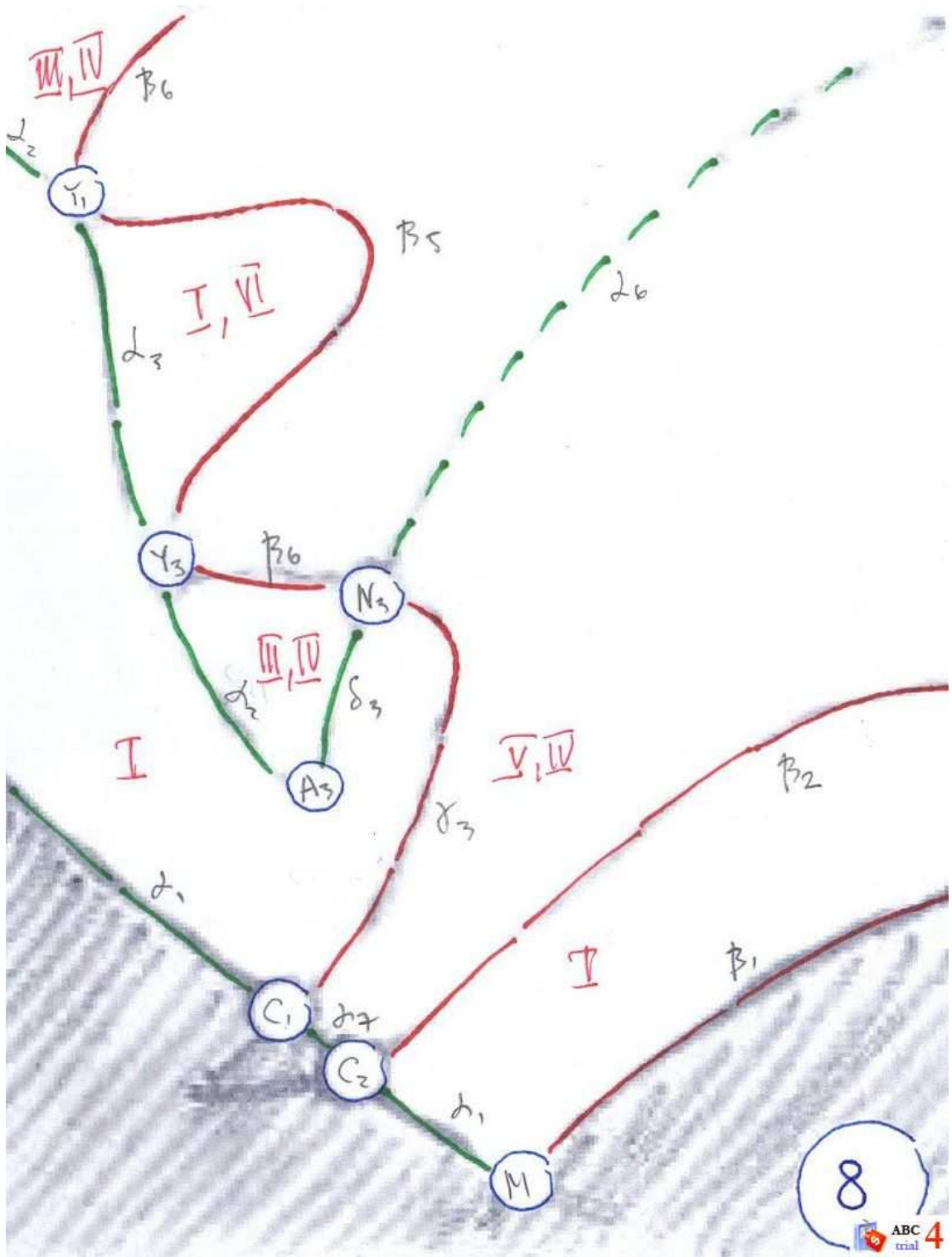


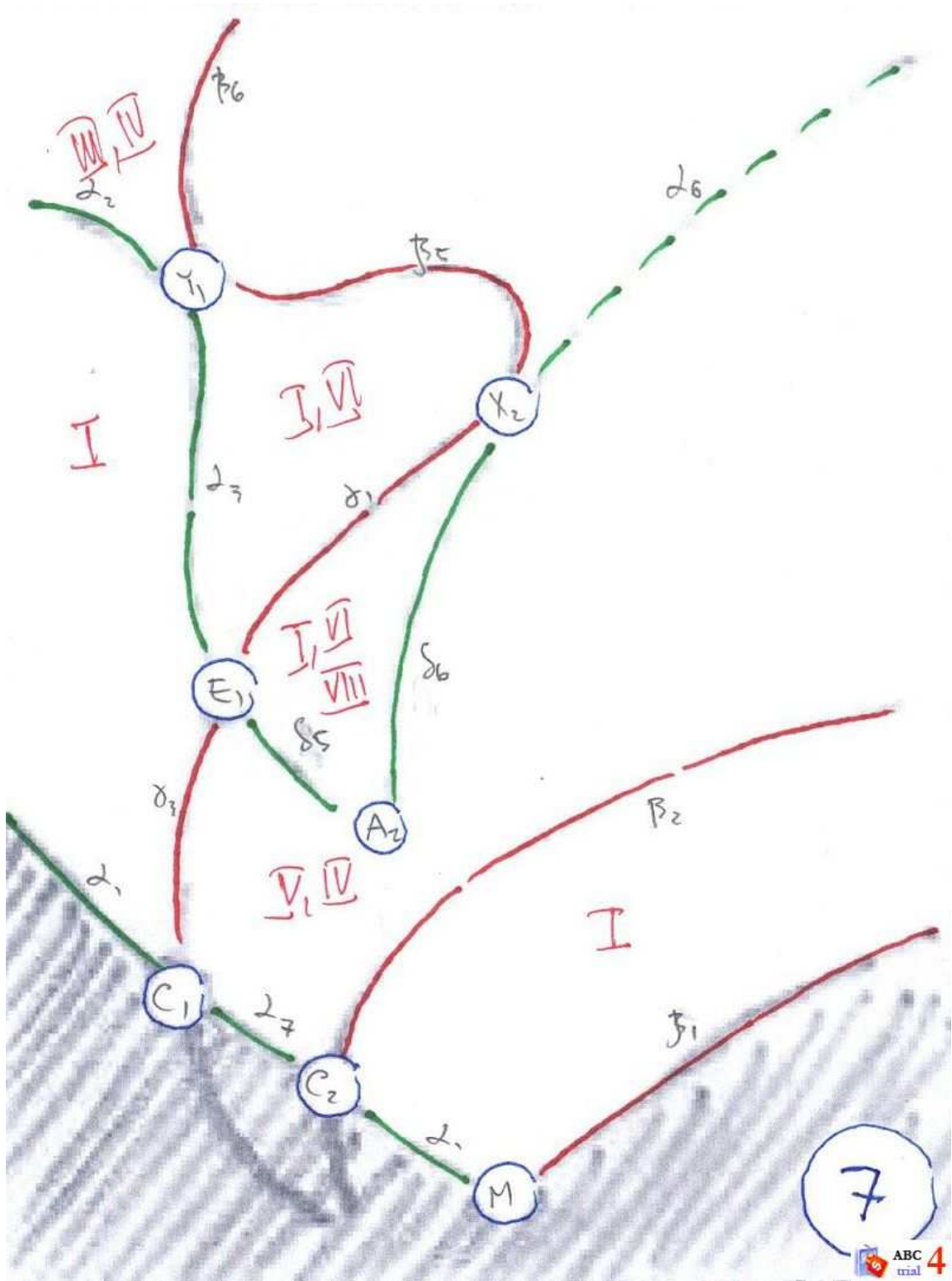


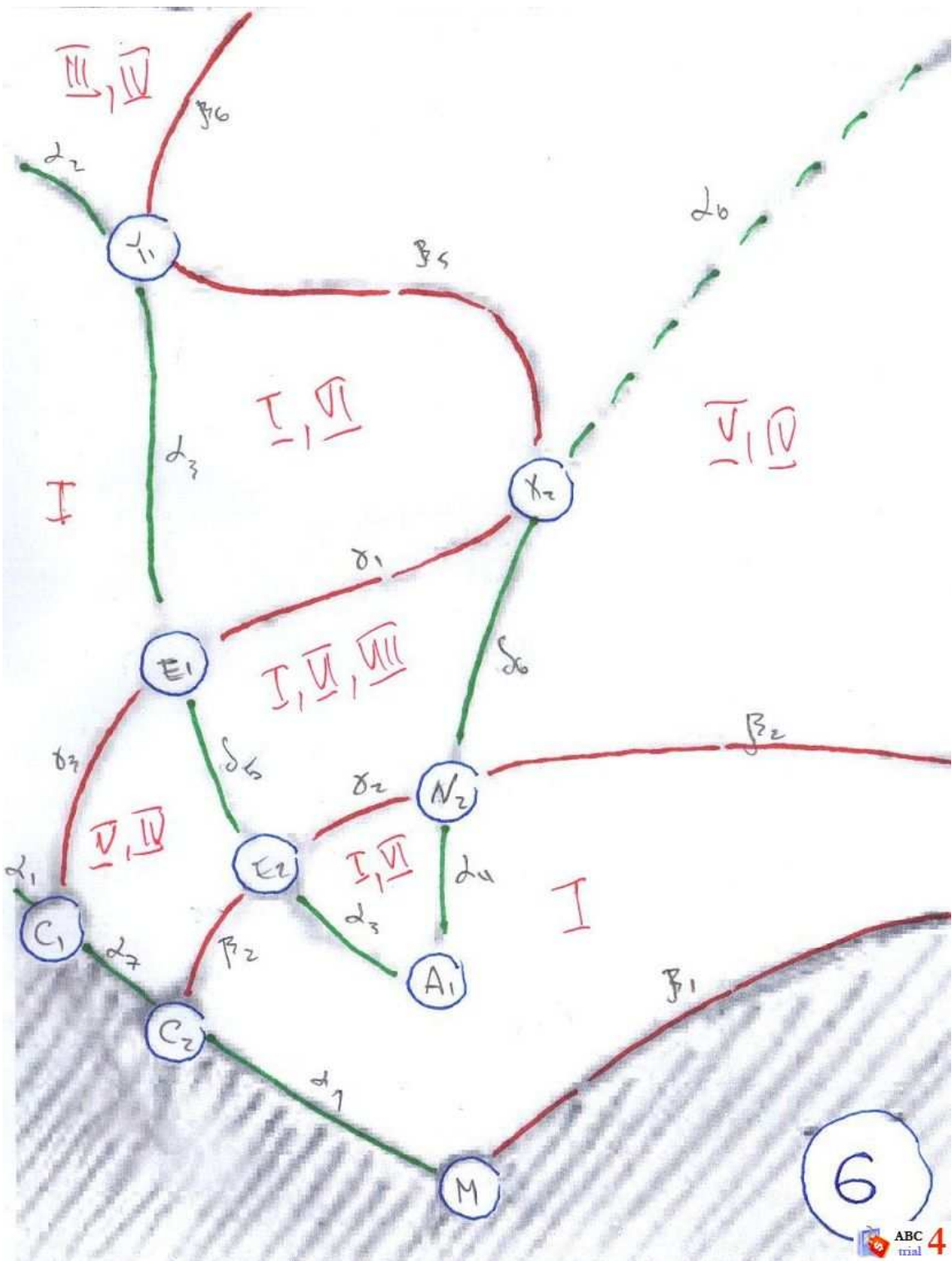












Список литературы

- [1] Yehia H.M. New integrable cases in dynamics of rigid bodies. - Mech. Res. Com., 1986, Vol. 13(3), pp.169-172.
- [2] Яхья Х.М. Новые интегрируемые случаи задачи о движении гиростата. Вестник МГУ сер. матем., механ., 1987, №4, с. 88-90
- [3] А.А.Ошемков “Труды Семинара по векторному и тензорному анализу вып. 25 часть 2.” Издательство Московского Ун-та, 1993.
- [4] Болсинов А.В., Фоменко А. Т. Интегрируемые гамильтоновы системы. Геометрия. Топология. Классификация. - Изд-во УдГУ 1999.
- [5] П.Е.Рябов “Бифуркационное множество задачи о движении твёрдого тела вокруг неподвижной точки в случае Ковалевской-Яхьи”. Дисс.Волгоград 1997.
- [6] Харламов М.П., Рябов ПЕ. Бифуркации первых интегралов в случае Ковалевско-Яхьи. - Регулярная и хаотическая динамика, 1997, т.2, №2.
- [7] Г.Г.Аппельrot “Не вполне симметричные тяжёлые гироскопы // Движение твёрдого тела вокруг неподвижной точки.” М.; Л.: Изд-во АН СССР, 1940. С.61-155.
- [8] М.П.Харламов “Топологический анализ интегрируемых задач динамики твёрдого тела”. Л.:Изд-во Ленинградского ун-та, 1980.
- [9] П.В.Морозов “Лиувиллева классификация некоторых интегрируемых систем механики твердого тела” Москва - 2006.
- [10] Фоменко А.Т. Теория Морса интегрируемых гамильтоновых систем // ДАН СССР, 1986, т.287, №.5, с.1071-1075. Объем 0,3 п.л.
- [11] Фоменко А.Т. Топология поверхностей постоянной энергии интегрируемых гамильтоновых систем и препятствия к интегрируемости// Известия АН СССР. Серия матем. 1986, т.50, №.6, с.1276-1307. Объем 2 п.л.
- [12] Фоменко А.Т., Цишанг Х. О типичных топологических свойствах интегрируемых гамильтоновых систем// Известия АН СССР, 1988, т.52, №.2, с.378-407. Объем 2 п.л.
- [13] Фоменко А.Т. Топологические инварианты гамильтоновых систем, интегрируемых по Лиувиллю// Функц. анализ и его приложения. 1988, т.22, вып.4, с.38-51. Объем 1 п.л.
- [14] Фоменко А.Т. Симплектическая топология вполне интегрируемых гамильтоновых систем// УМН, 1989, т.44, вып.1 (265), с.145-173. Объем 2 п.л.

- [15] Фоменко А.Т., Цишанг Х. Топологический инвариант и критерий эквивалентности интегрируемых гамильтоновых систем с двумя степенями свободы. - Известия АН СССР. 1990, т.54, №.3, с.546-575.
- [16] Болсинов А.В., Рухмер П, Фоменко А. Т. Метод круговых молекул и топология волчка Ковалевской. - Матем. сборник, 2000, т. 191, N 2, с. 3-42.
- [17] Топалов П. Вычисление тонкого инварианта Фоменко-Цишанга для основных интегрируемых случаев движения твердого тела. - Матем. сборник, 1996, т. 187, ИЗ, с. 143-160.